

# Astroteilchenphysik II: Gammastrahlung

## Vorlesung 7

Ralph Engel und Markus Roth  
Institut für Kernphysik  
Markus.Roth@kit.edu

### **Supernova-Überreste**

- Beobachtungsergebnisse von Supernova-Überresten
- Interpretation der Ergebnisse
- Vergleich der Vorhersagen  
leptonischer und hadronischer Modelle

### **Entdeckung und Eigenschaften von Pulsaren**

- Entdeckung von Neutronensternen und Pulsaren
- Eigenschaften von Pulsaren

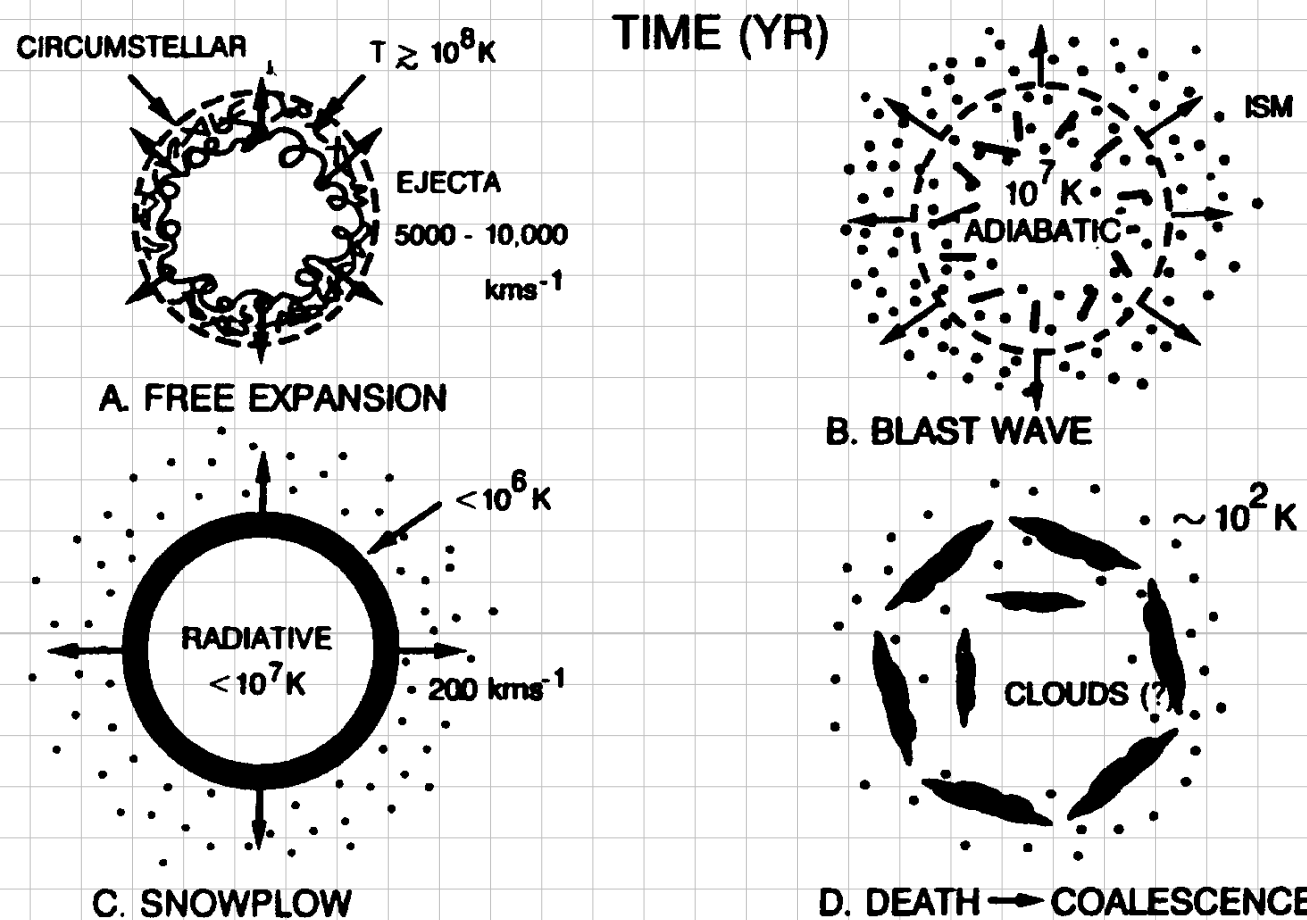
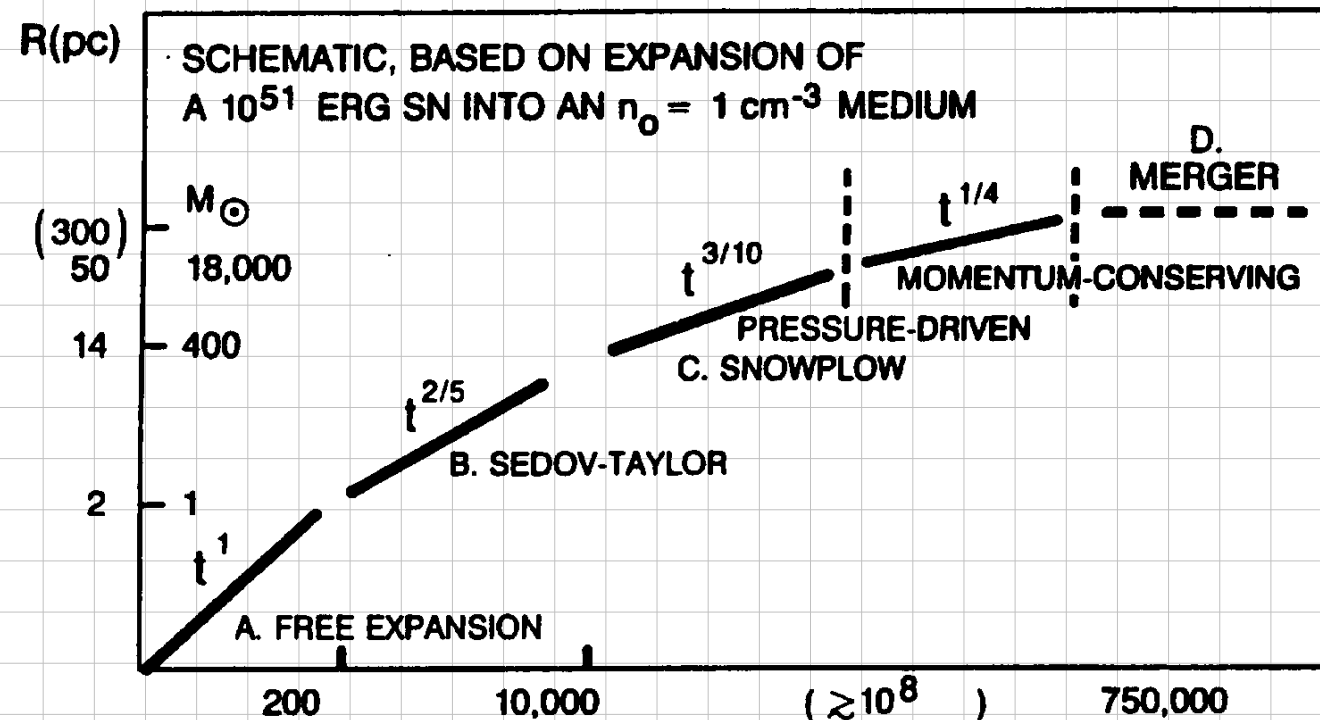
### **Theorie der Neutronensterne und Pulsare**

- Pulsare als Neutronensterne
- Eigenschaften von Neutronensternen (Krebs-Pulsar)
- Pulsarwind-Nebel-Systeme

# Vorlesung: Termine

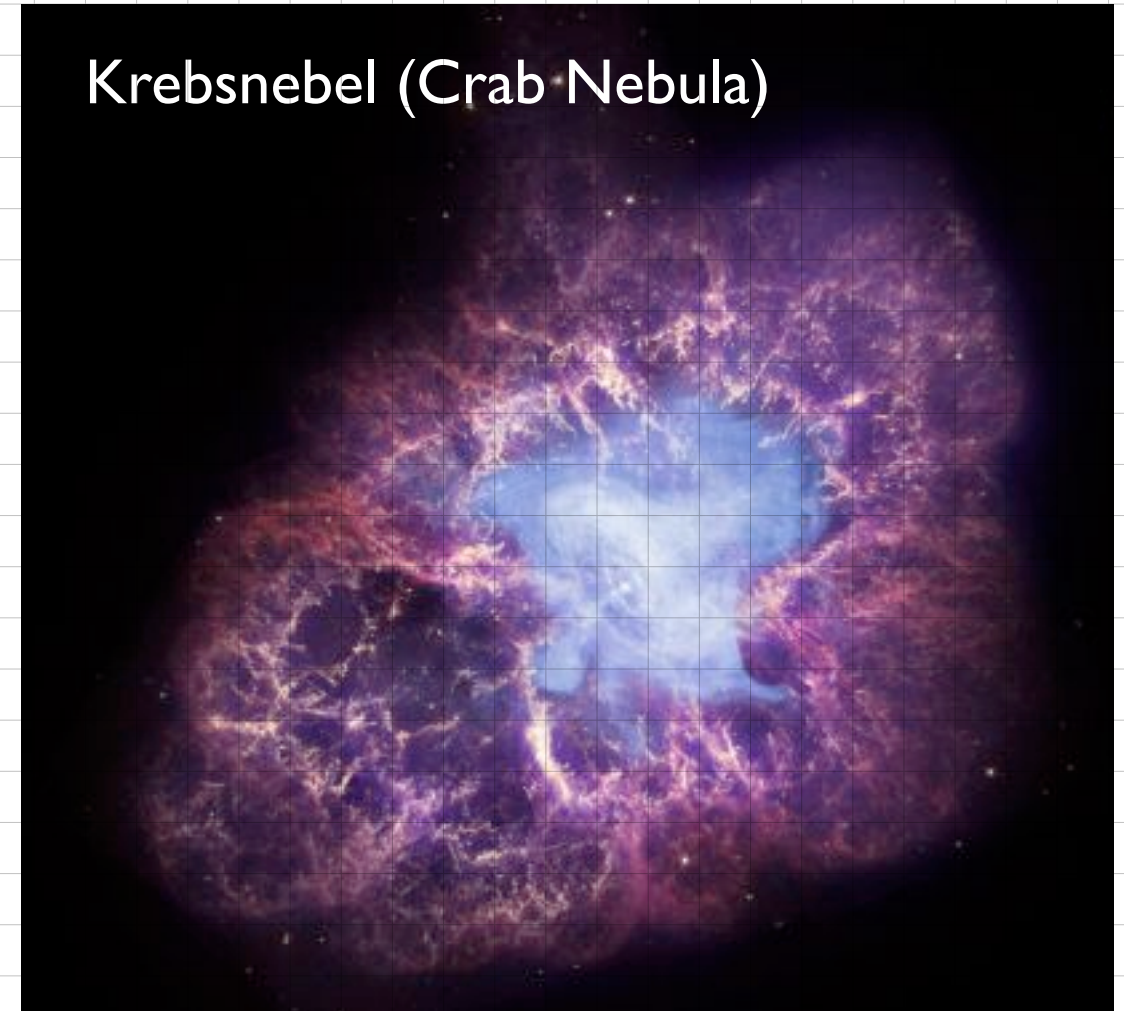
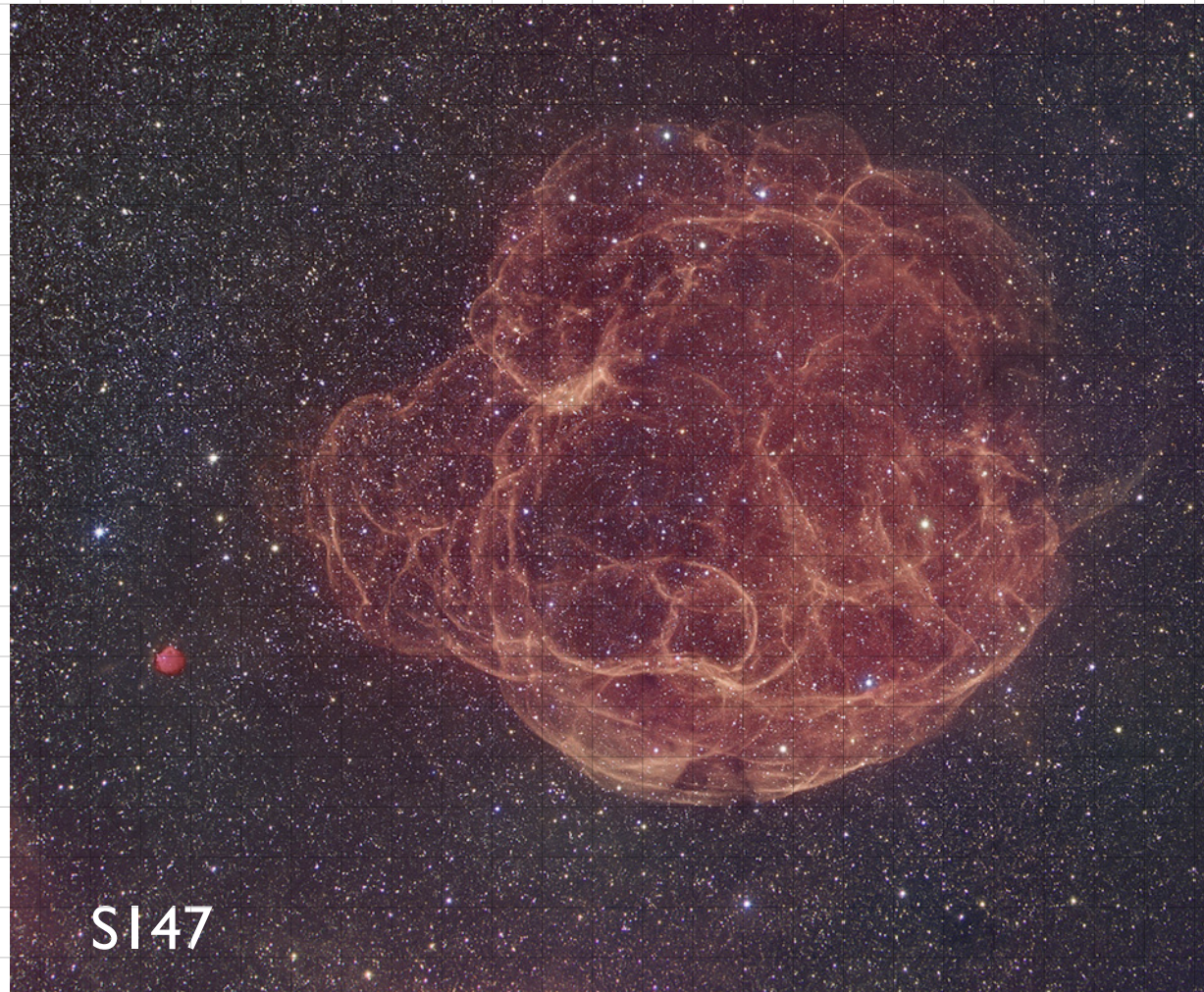
Dienstag		Donnerstag	
		23.04.2020	Vorlesung
		30.04.2020	Vorlesung
		07.05.2020	Vorlesung
12.05.2020	Übung	14.05.2020	Vorlesung
		-	Feiertag
		28.05.2020	Vorlesung
		04.06.2020	Vorlesung
09.06.2020	Übung	-	Feiertag
		<b>18.06.2020</b>	<b>Vorlesung</b>
<b>23.06.2020</b>	<b>Übung</b>	25.06.2020	Vorlesung
		02.07.2020	Vorlesung
07.07.2020	Übung	09.07.2020	Vorlesung
		16.07.2020	Vorlesung
21.07.2020	Übung	23.07.2020	Vorlesung

# Entwicklung von SN-Überresten



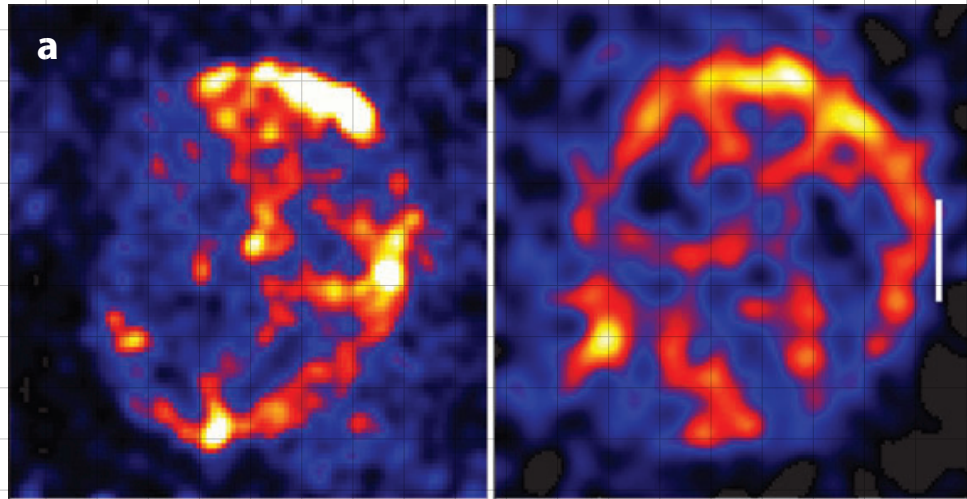


# Beispiele für Supernova-Überreste

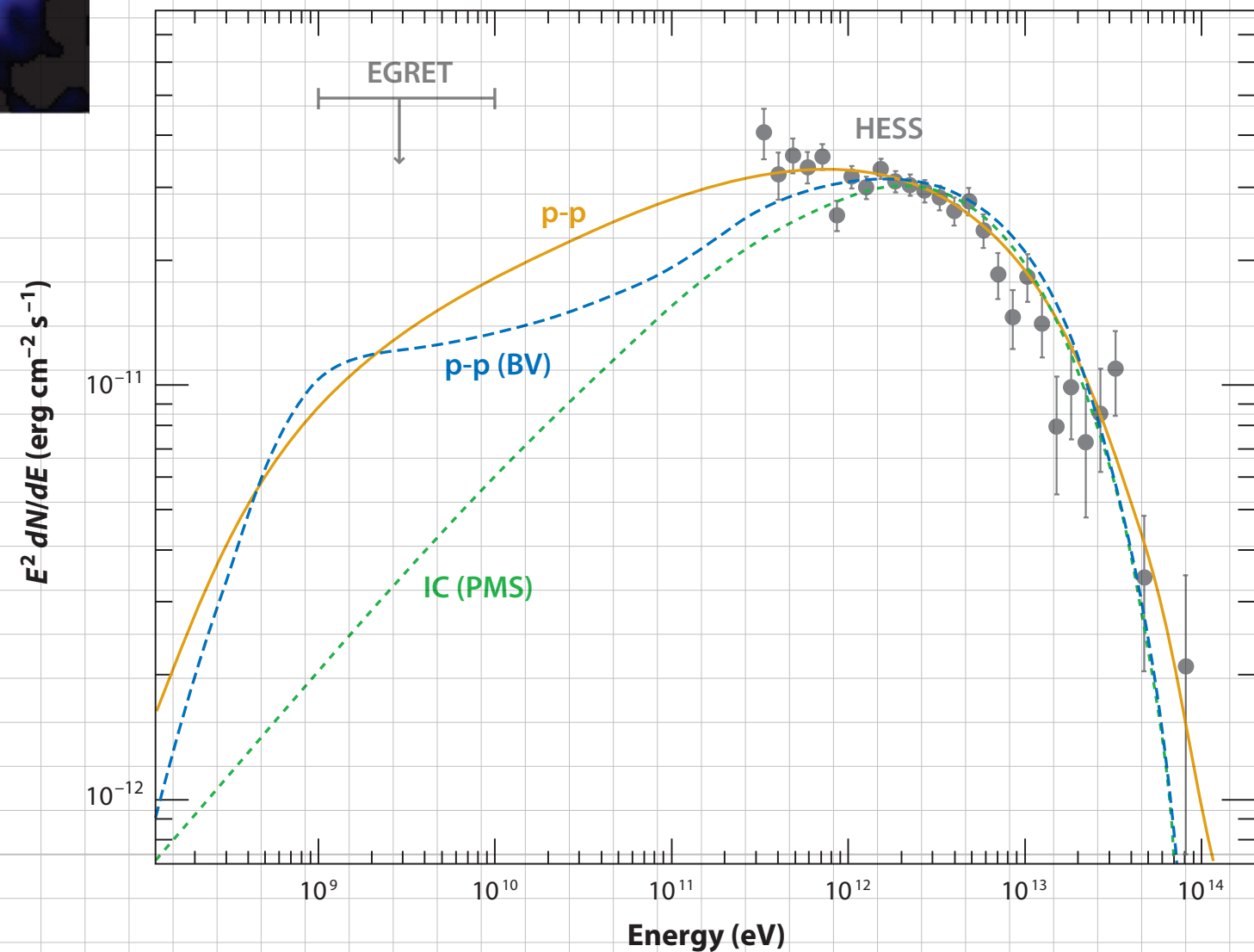
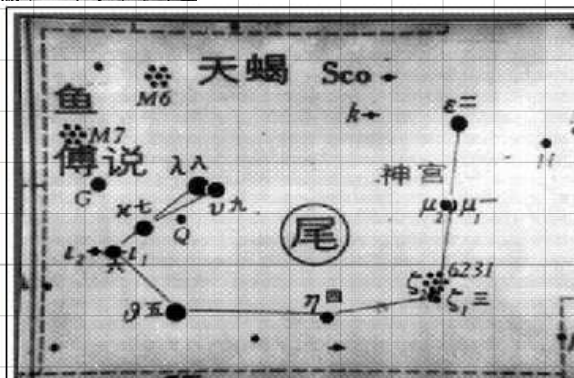




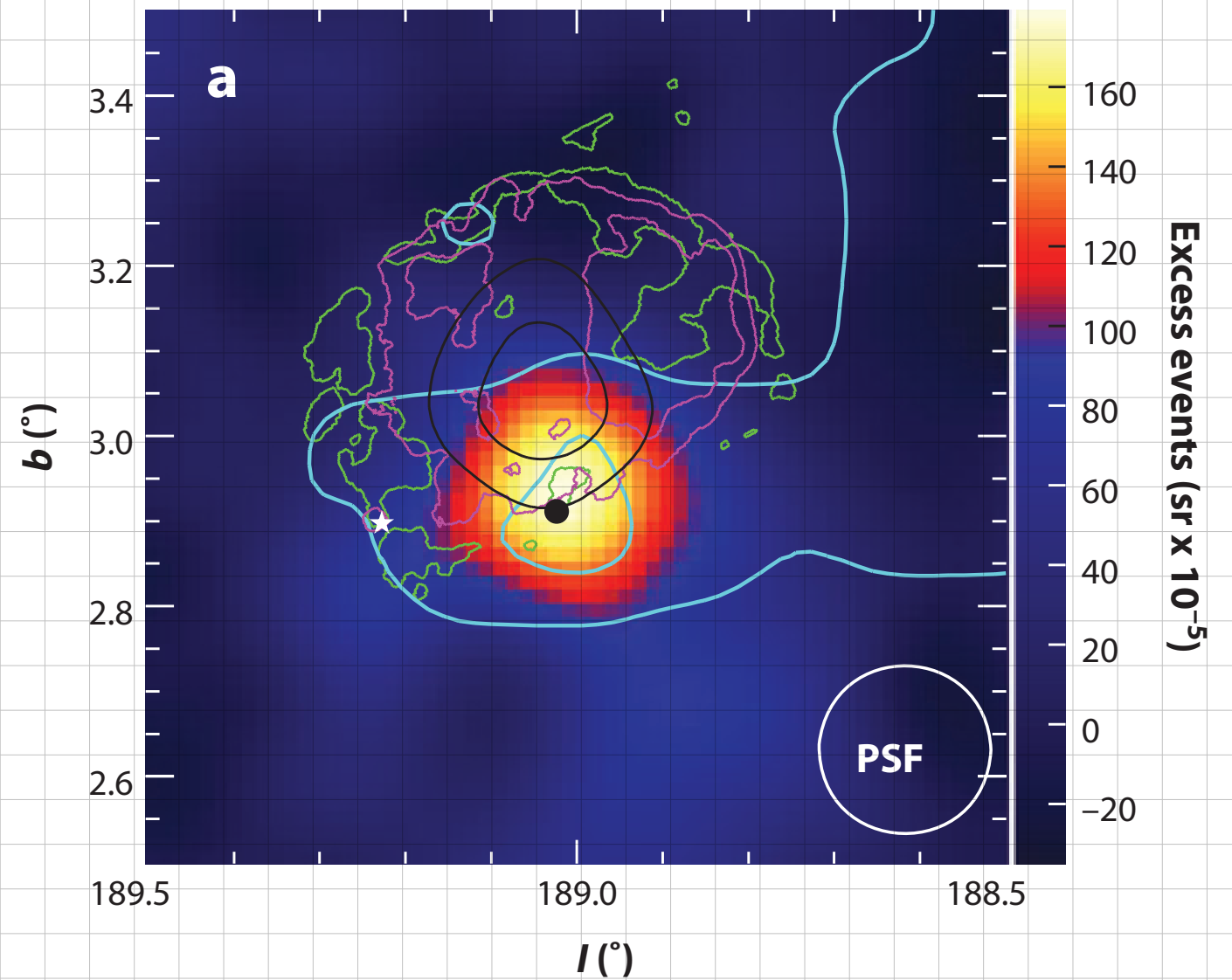
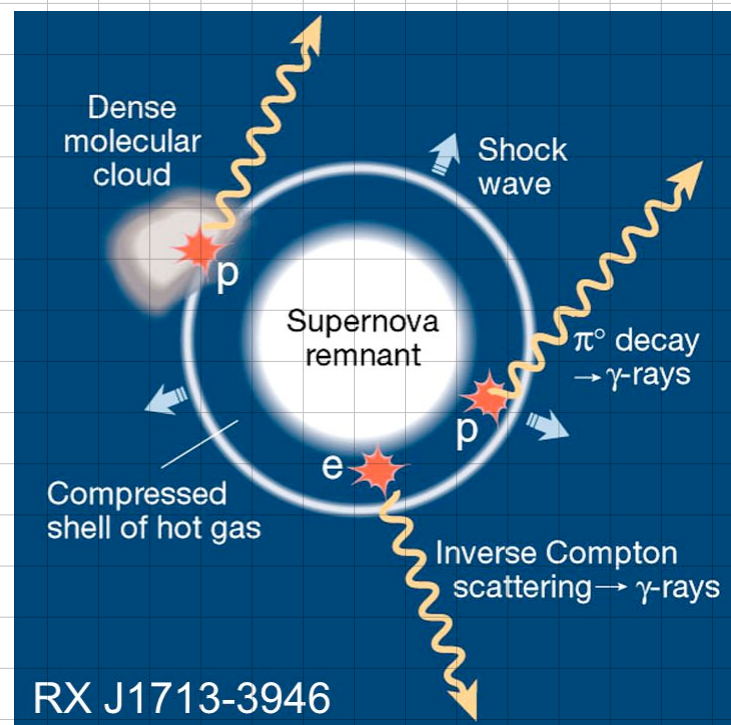
# Supernova-Überrest RX J1713.7-3946



之并斬其從弟緒司馬道子  
太元十六年十一月癸巳月  
時太子常有篤疾  
太元十七年九月丁丑歲星  
三星合是謂驚位絕行內外有兵喪與飢改立王公  
太元十八年正月乙酉熒惑入月占曰憂在宮中非賊  
乃盜也一曰有亂臣若有戮者二十一年九月帝暴崩  
內殿兆庶宣言夫人張氏潛行大逆于時朝政闇緩不  
加顯戮但默責而已又王國寶邪狡卒伏其辜  
太元十八年二月有客星在尾中至九月乃滅占曰燕

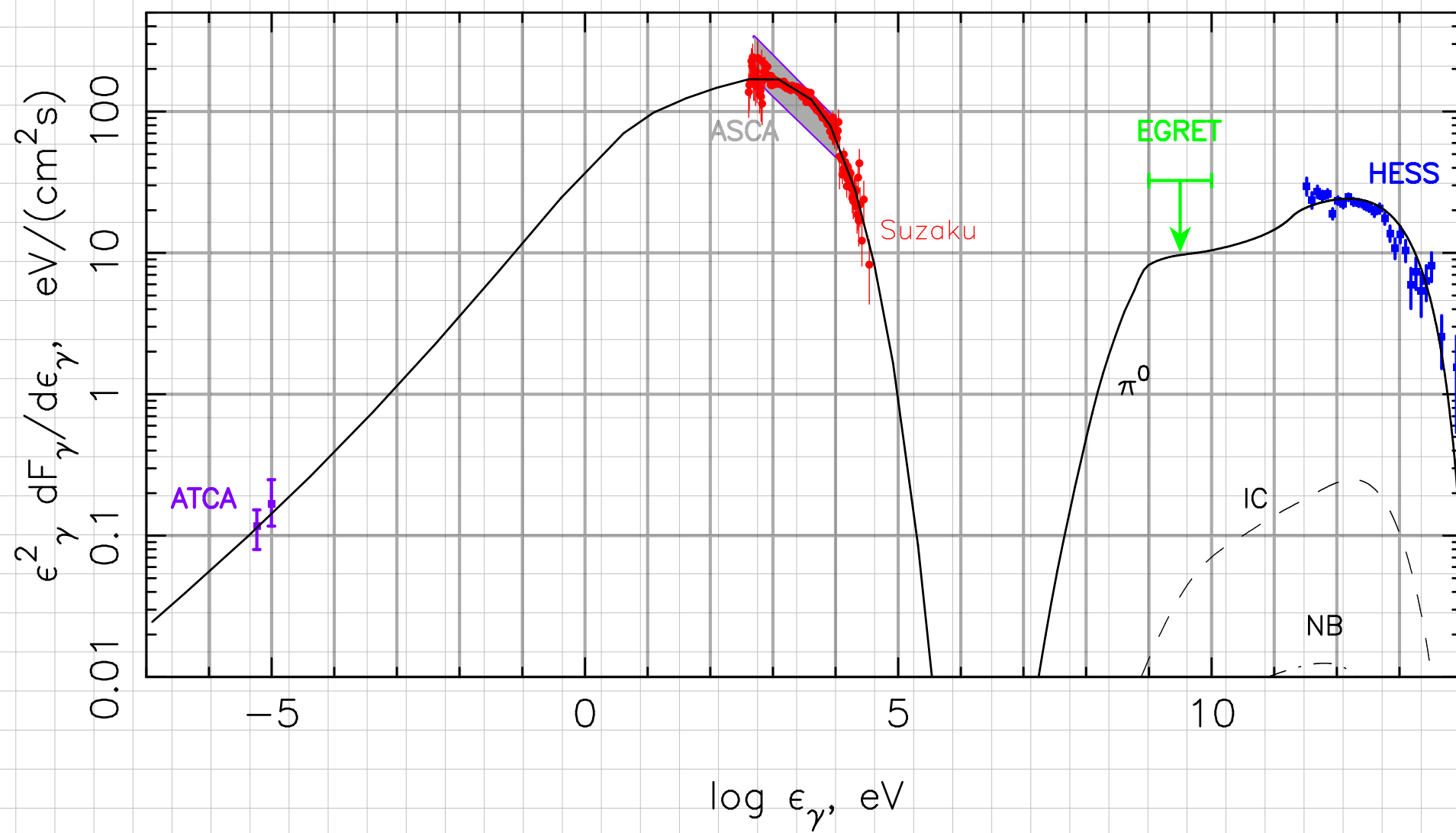


# Wechselwirkung mit Molekülwolke: RX J1713.7-3946



# RX J1713.7-3946

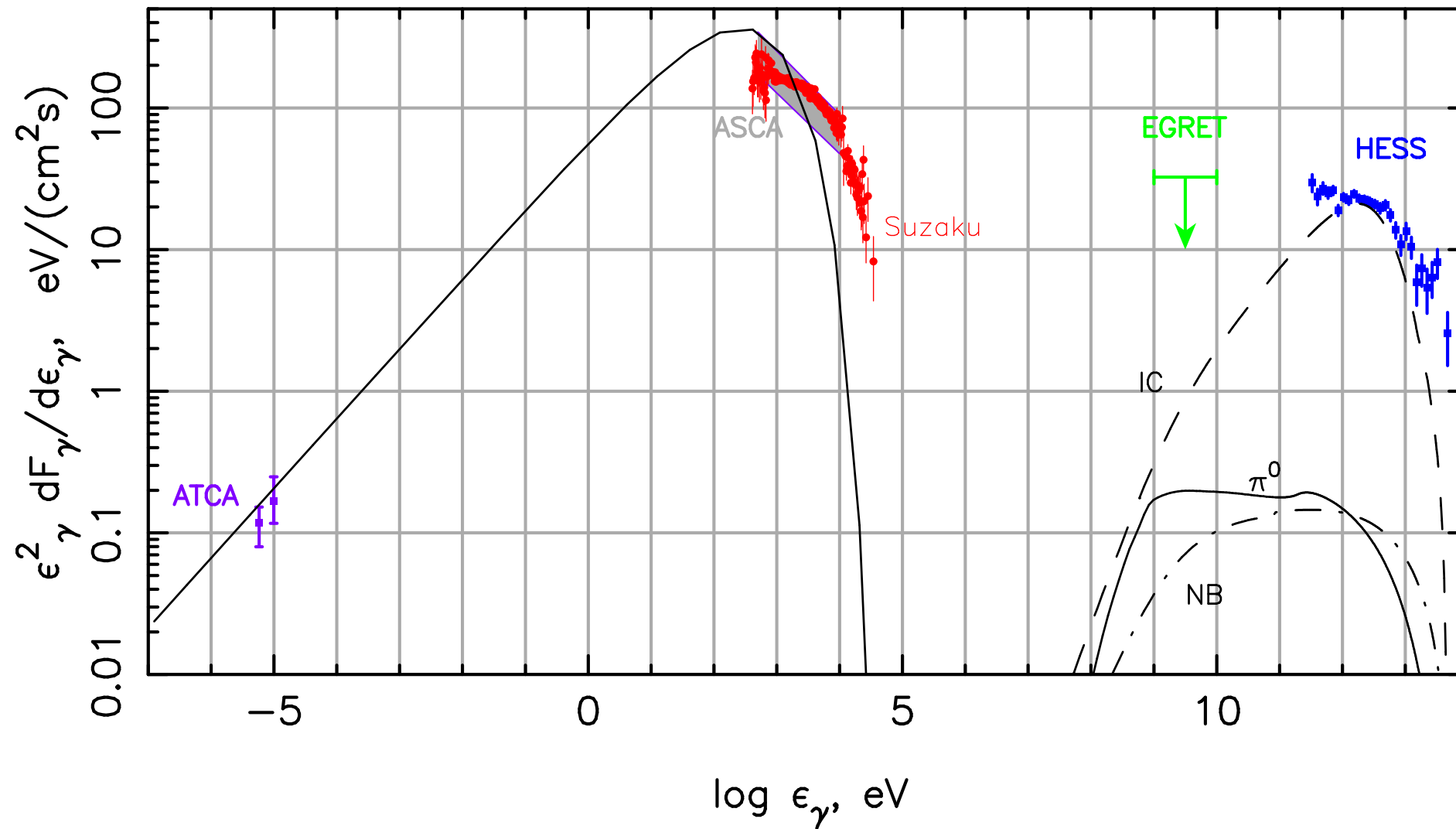
## Modellrechnung: hadronische Erzeugung



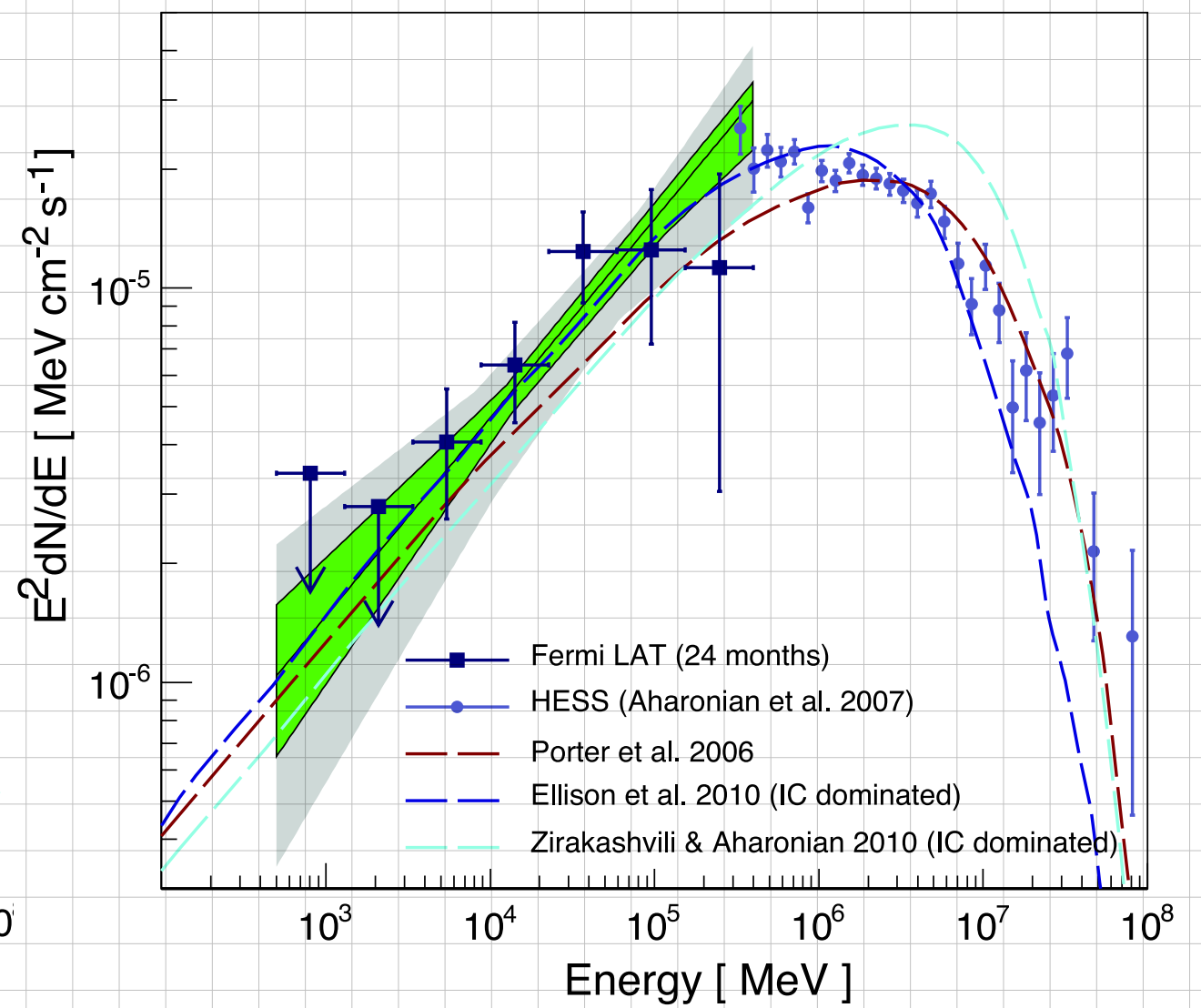
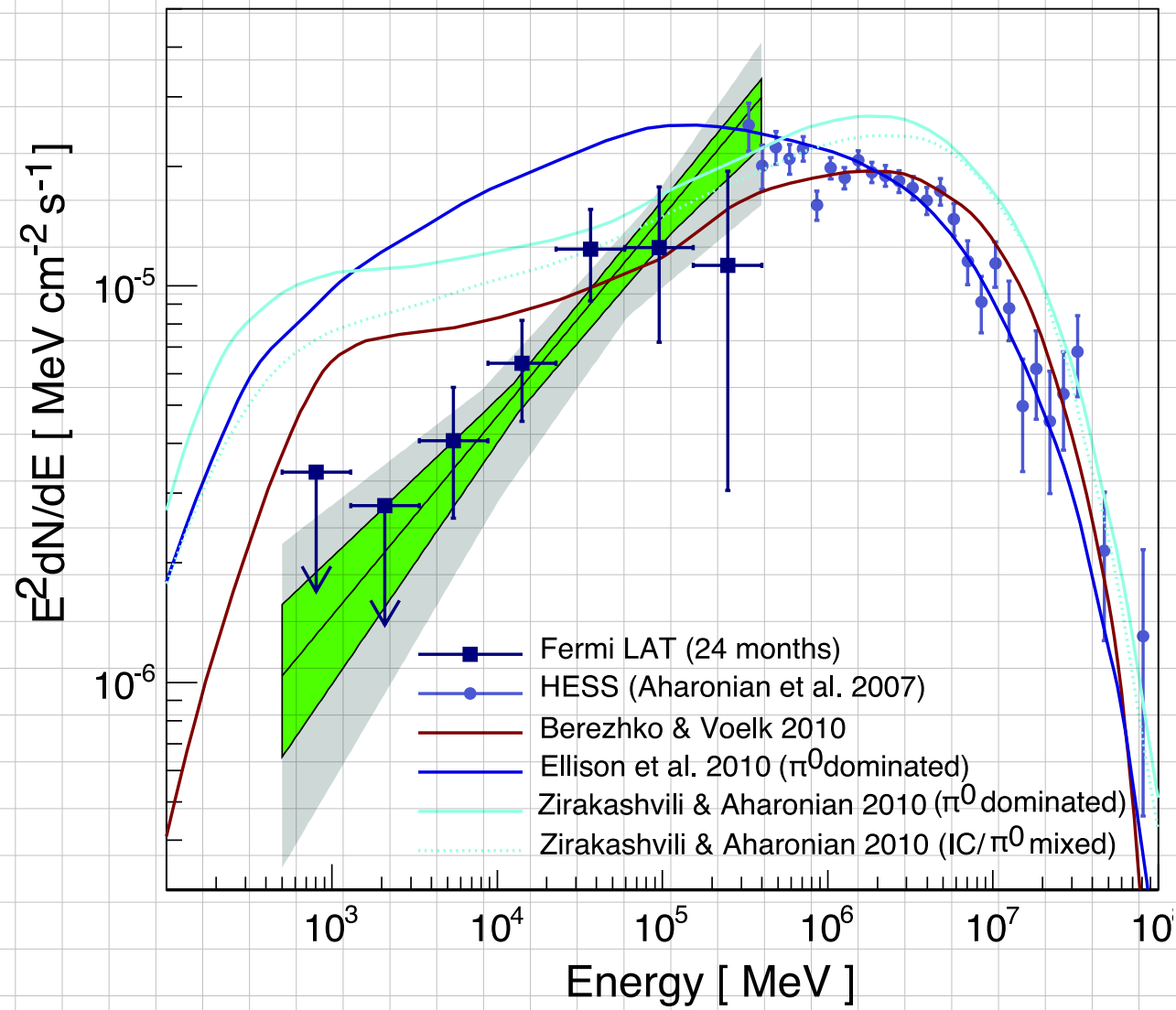


# RX J1713.7-3946

## Modellrechnung: leptonische Erzeugung

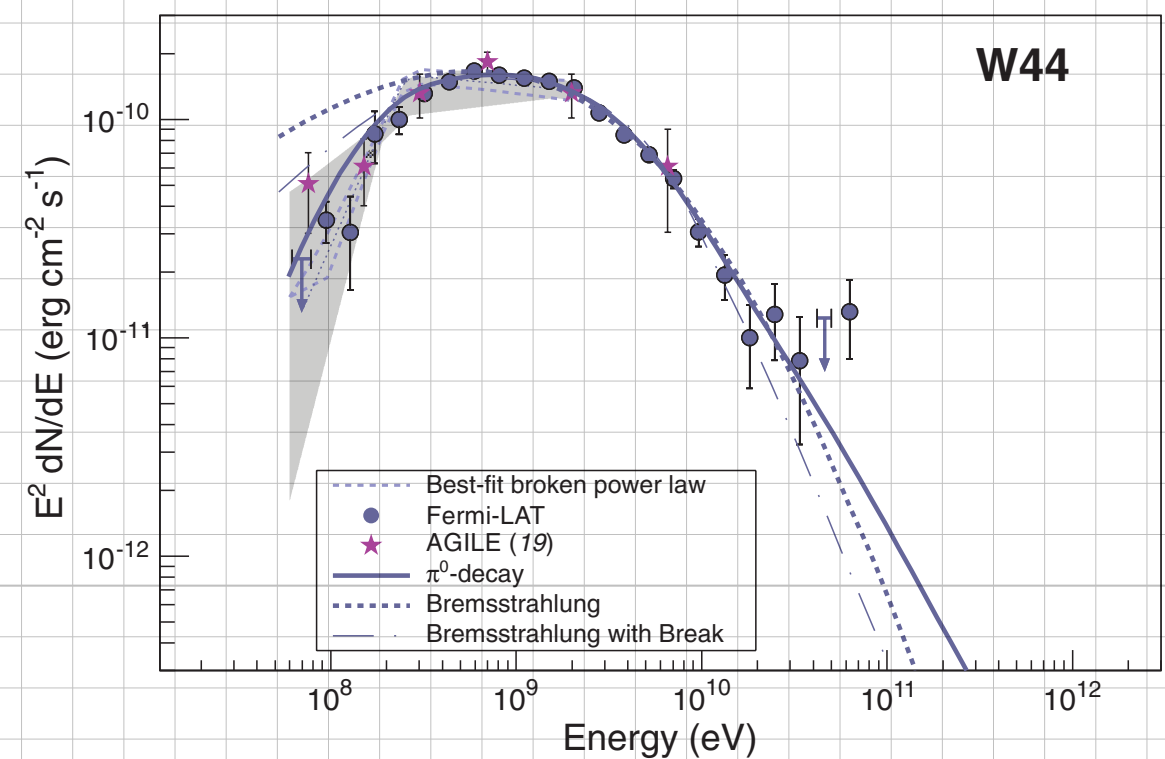
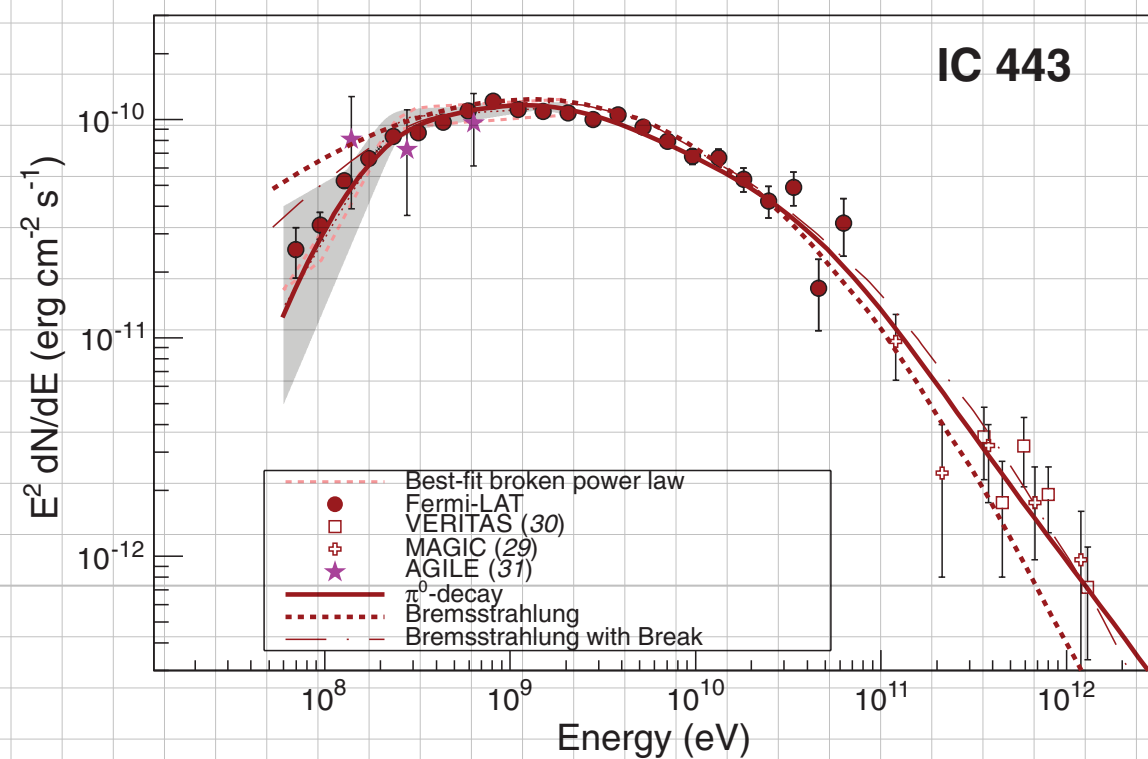
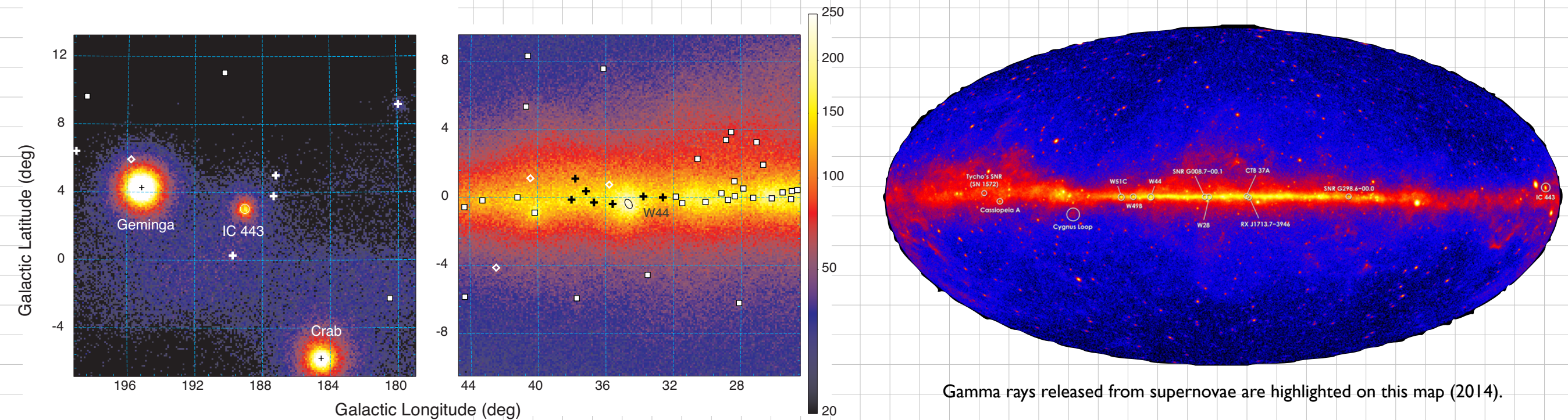


# FERMI-LAT-Messung



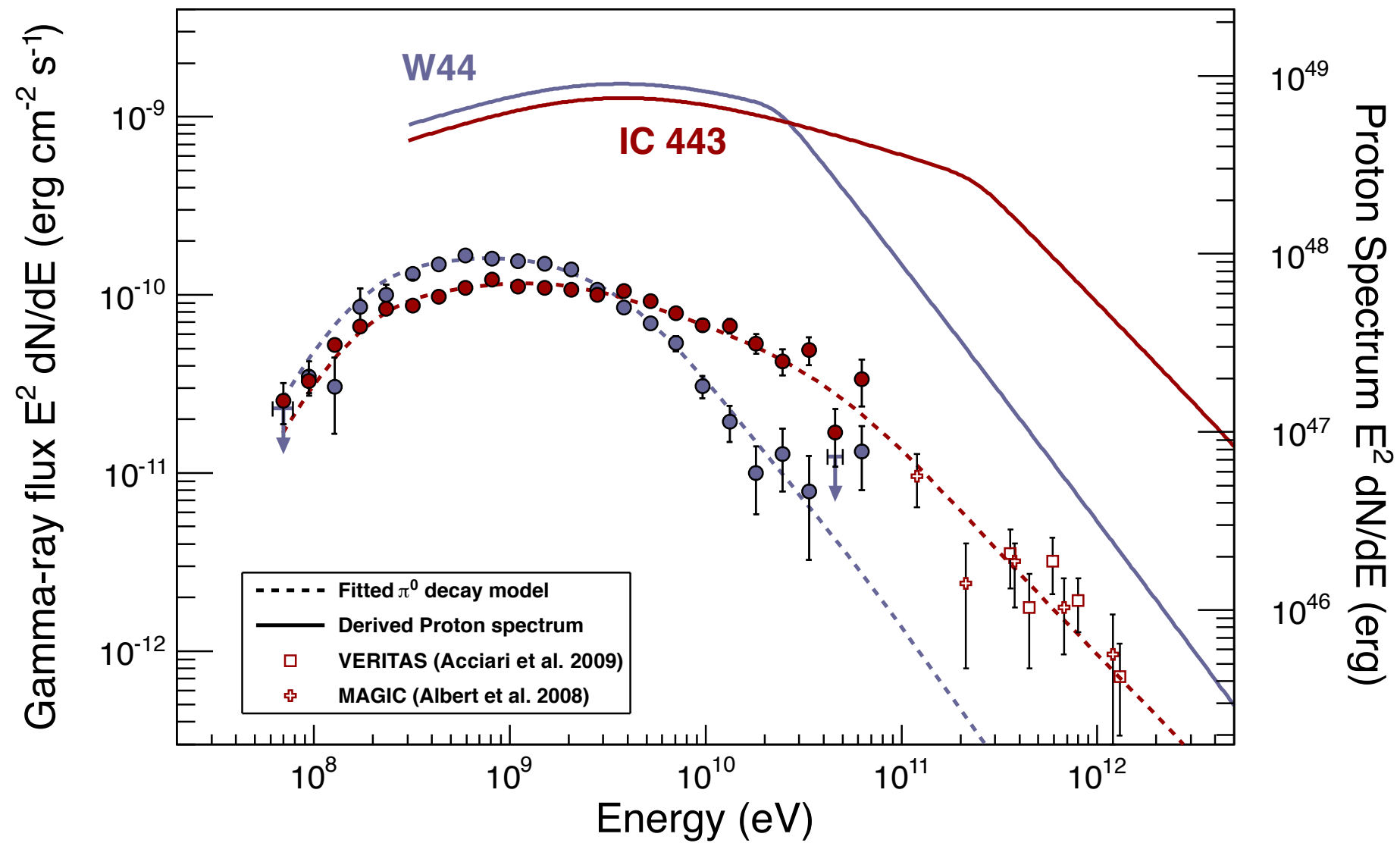
arXiv:1103.5727v1

# Fermi-Beobachtungen von IC 443 und W44

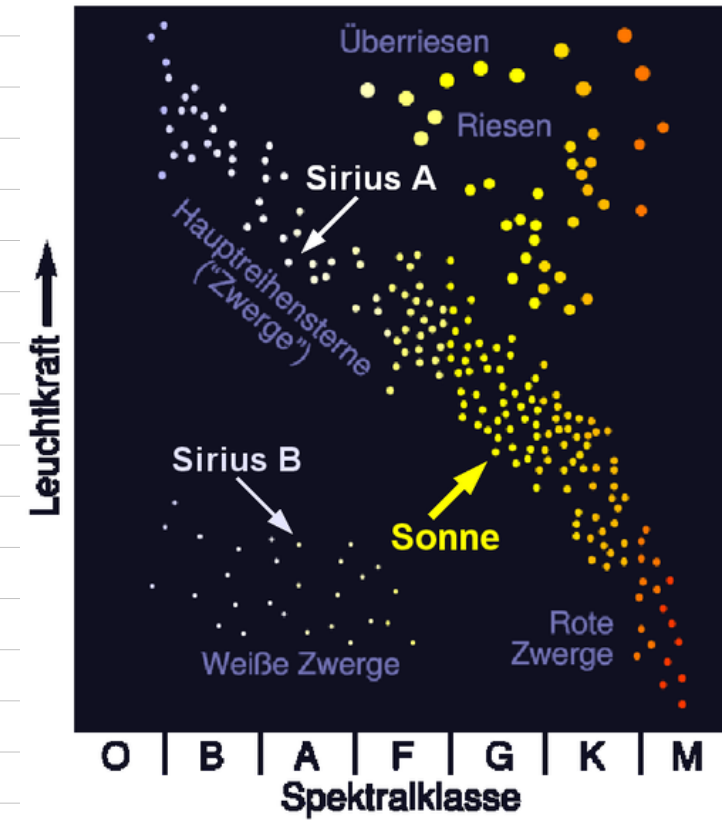
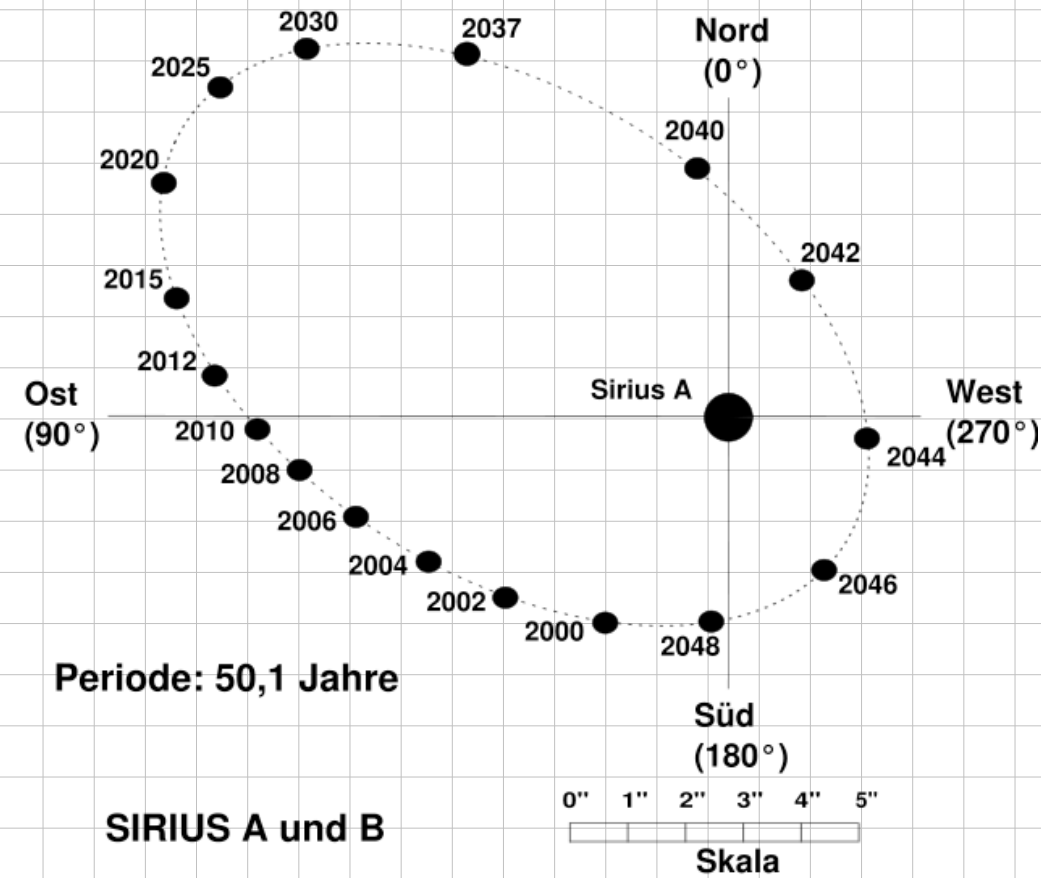
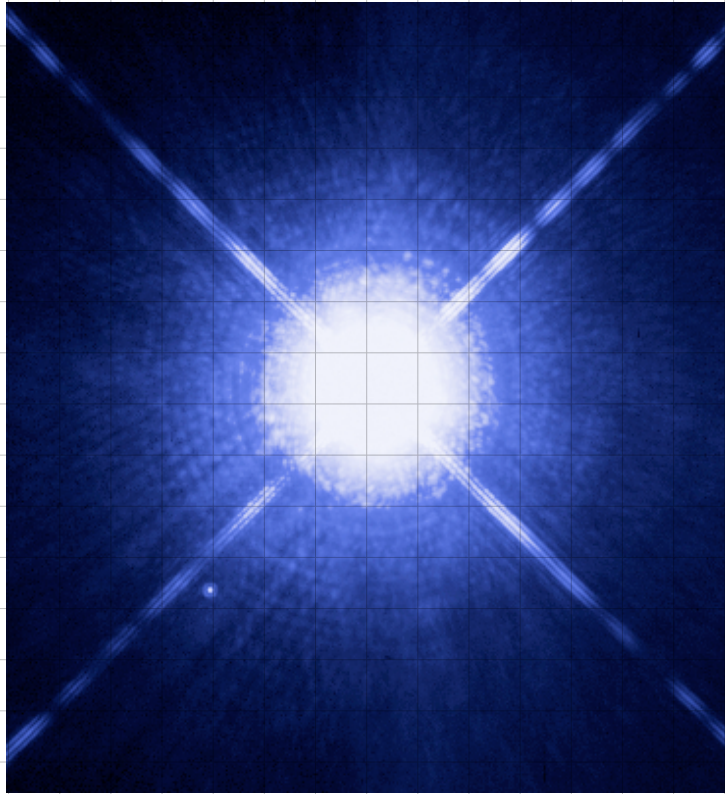


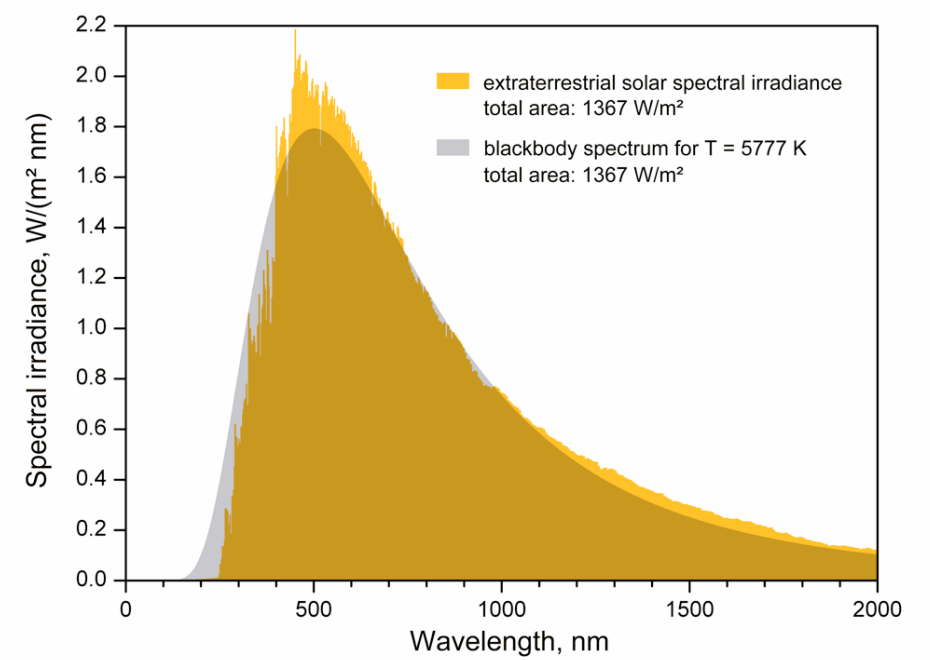


# Abgeleitete Protonflüsse



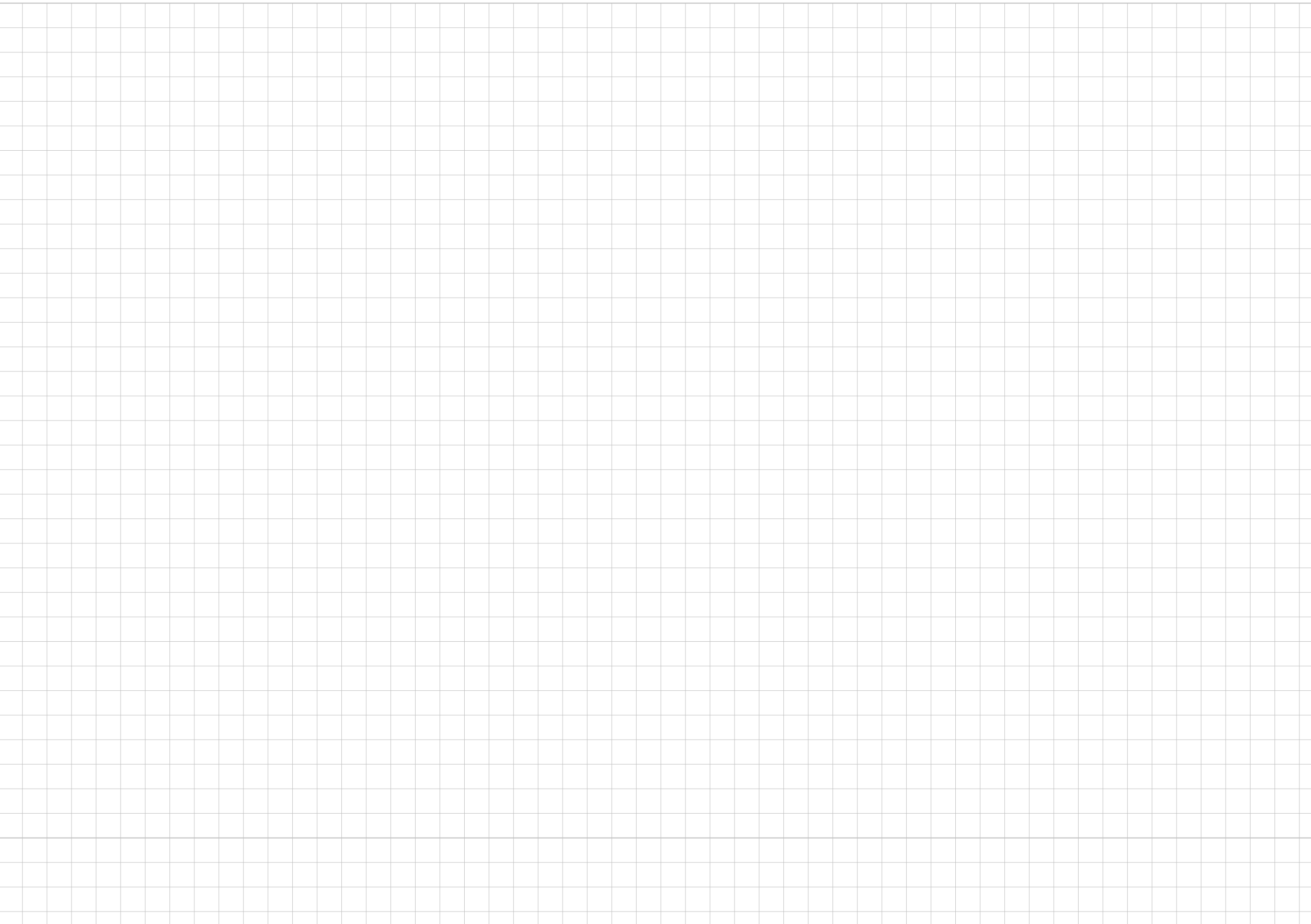
# Kompakte Sterne: Sirius B



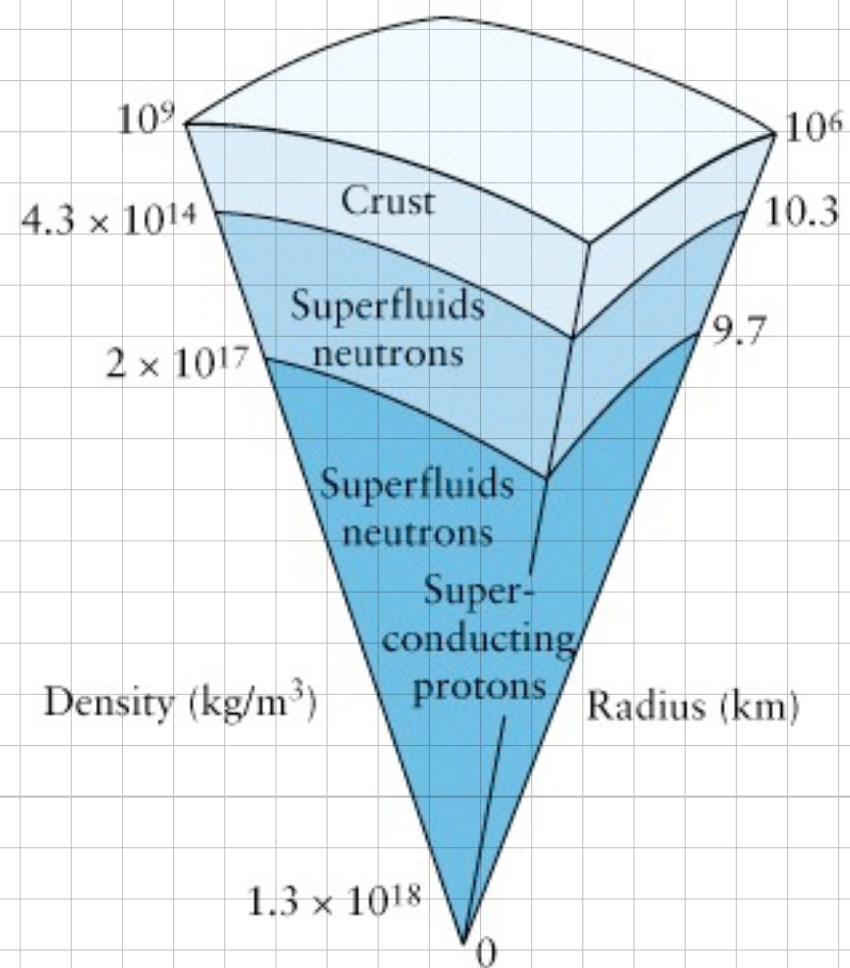
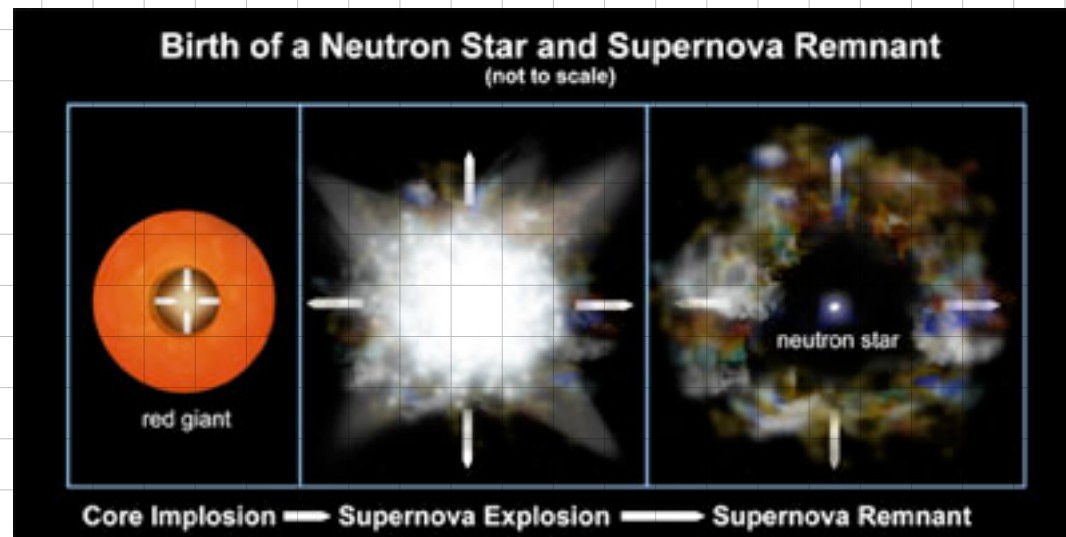




# Quantenmechanischer Entartungsdruck

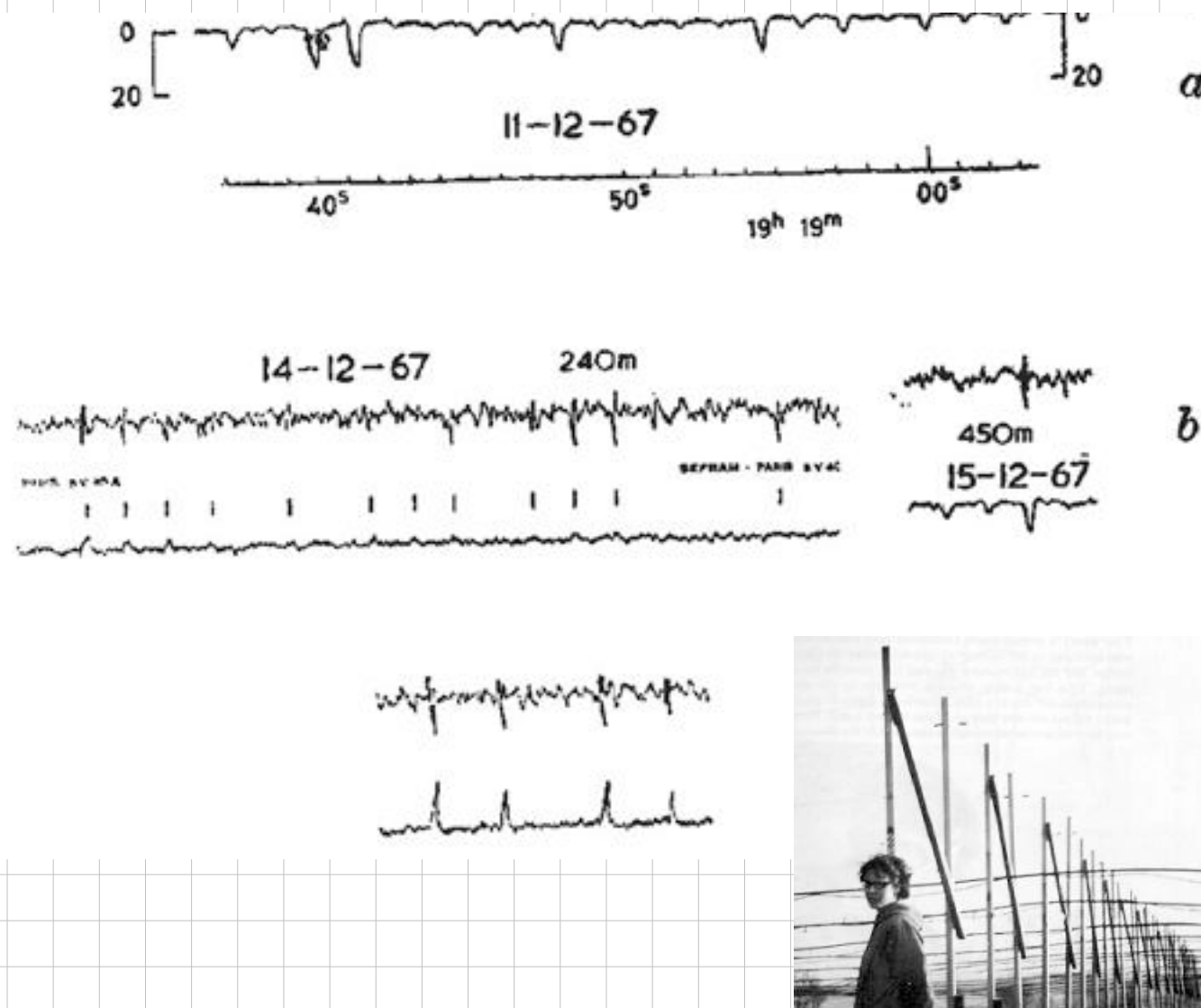


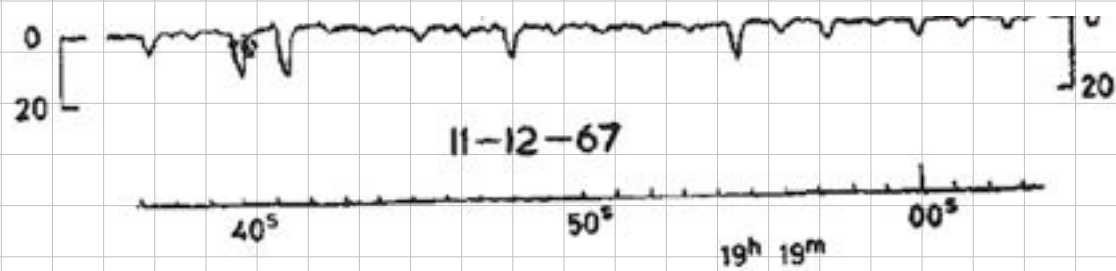
# Entstehung von Neutronensternen



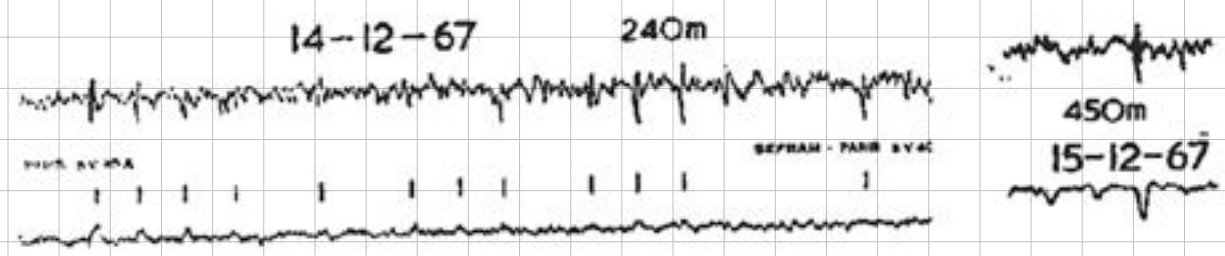


# Entdeckung des ersten Pulsars

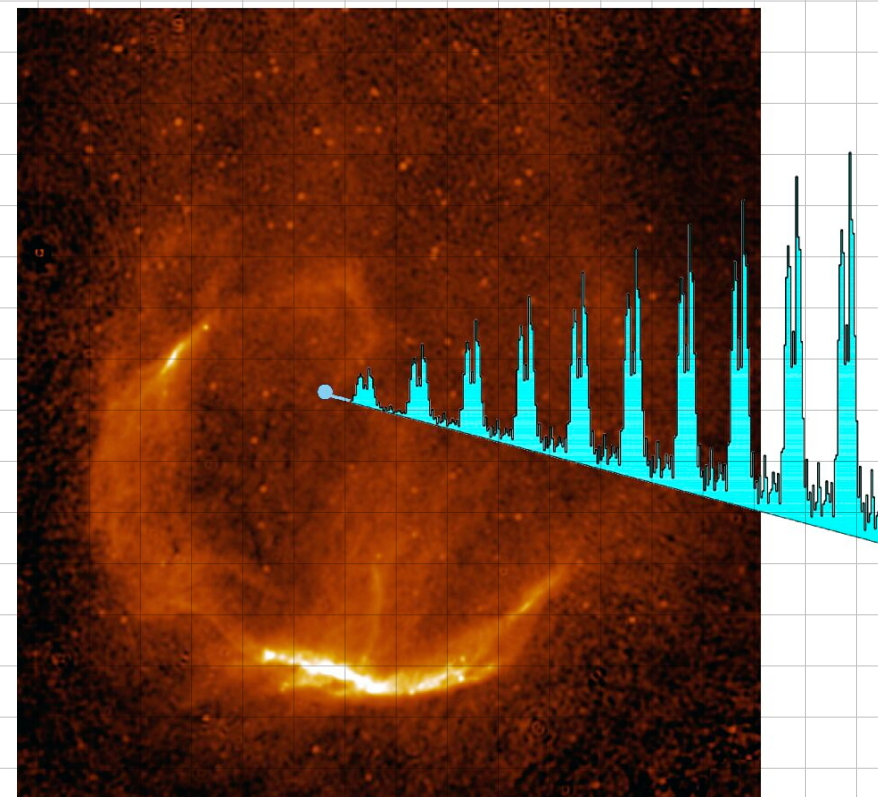




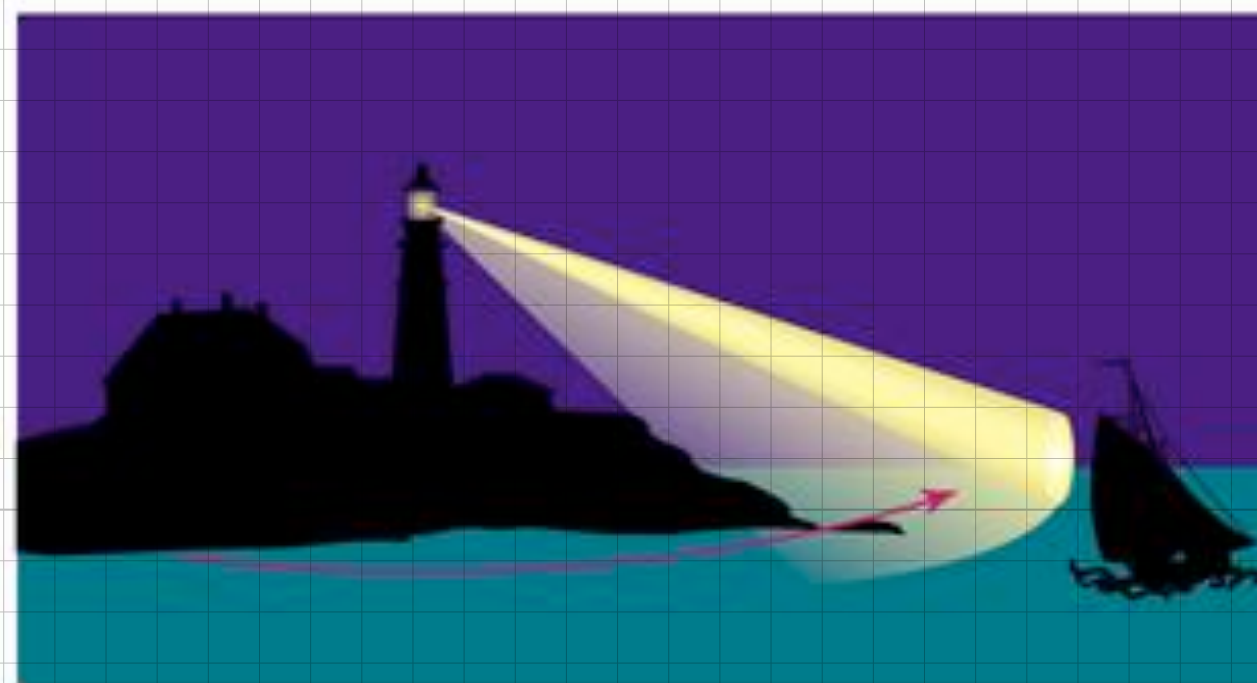
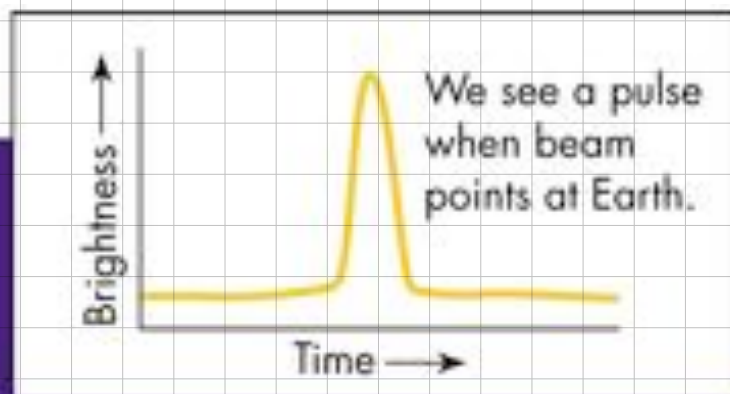
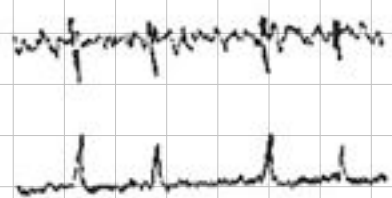
a



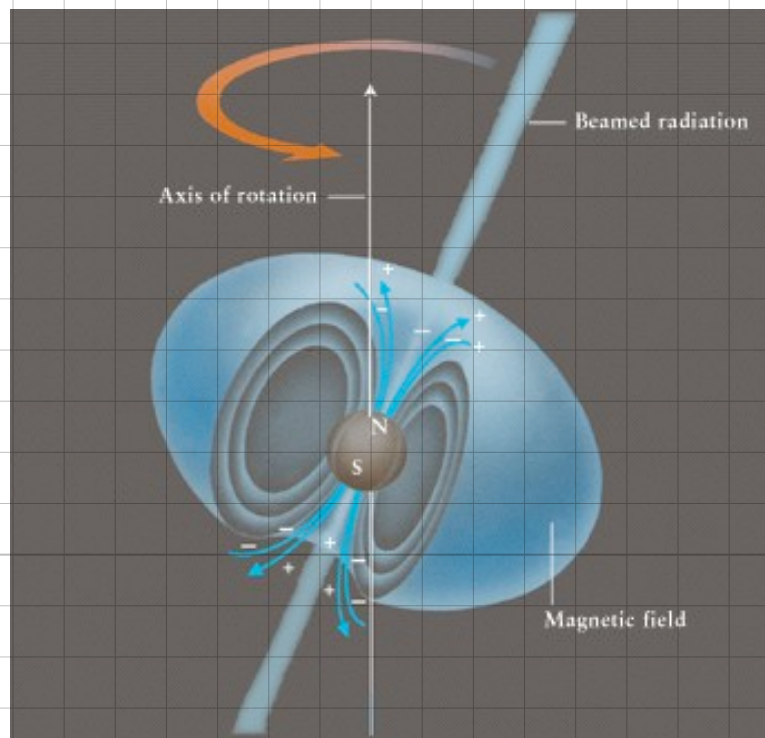
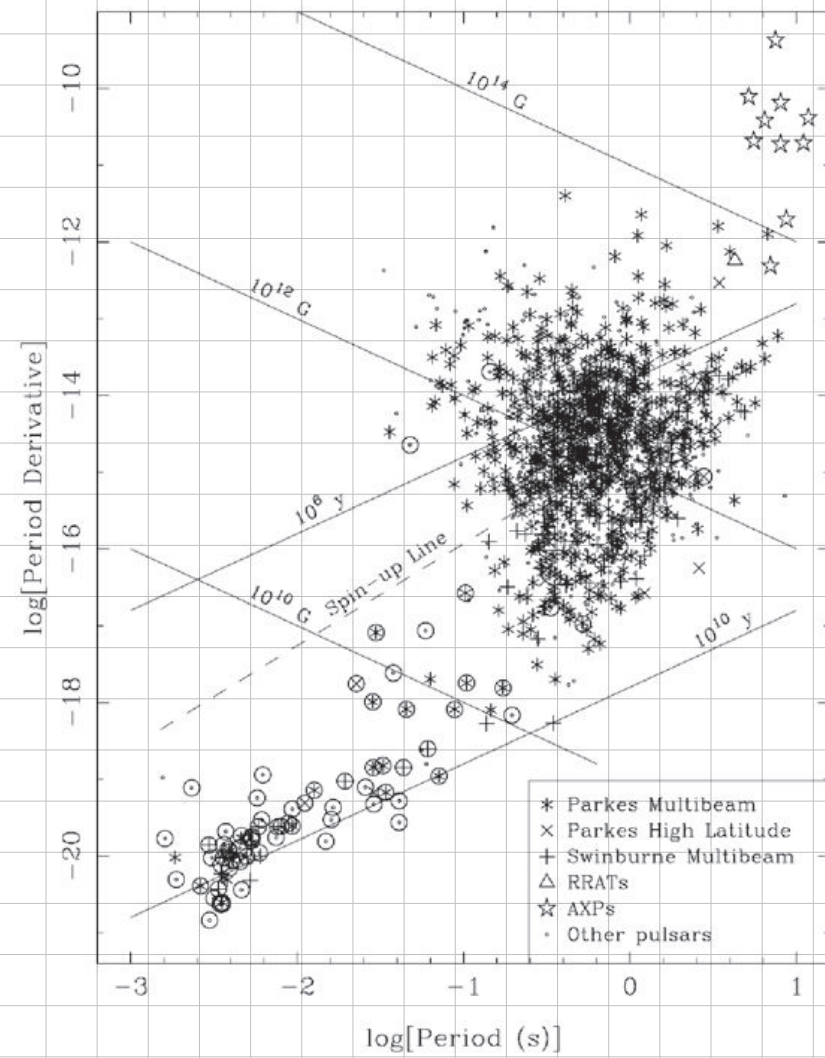
b



c



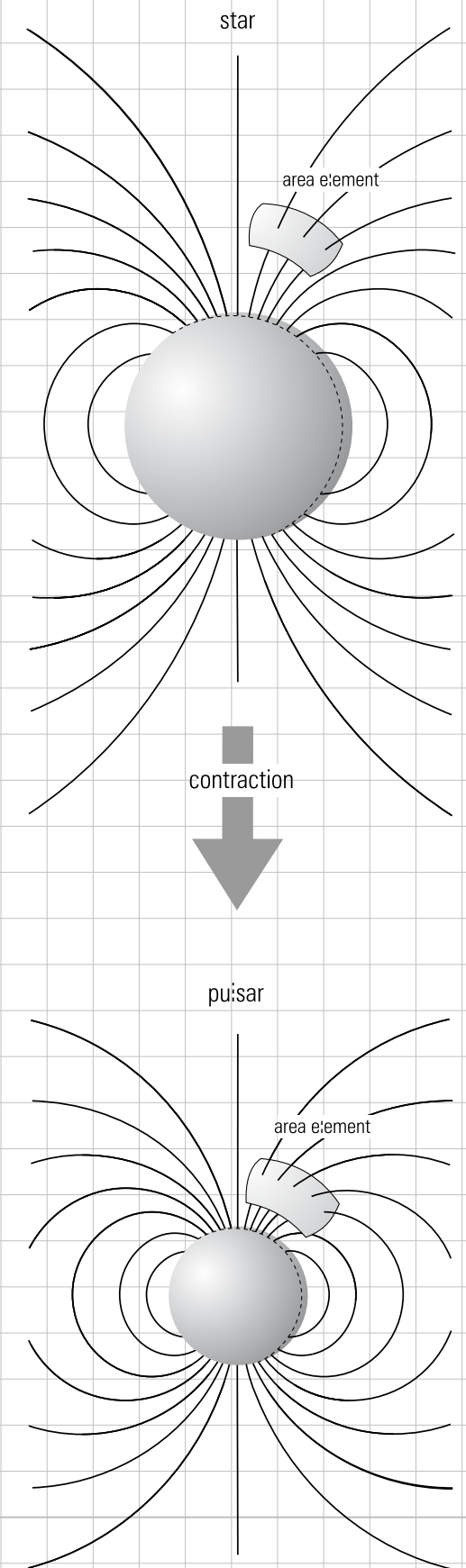
# Interpretation von Pulsaren als Neutronensterne



# Drehimpulserhaltung



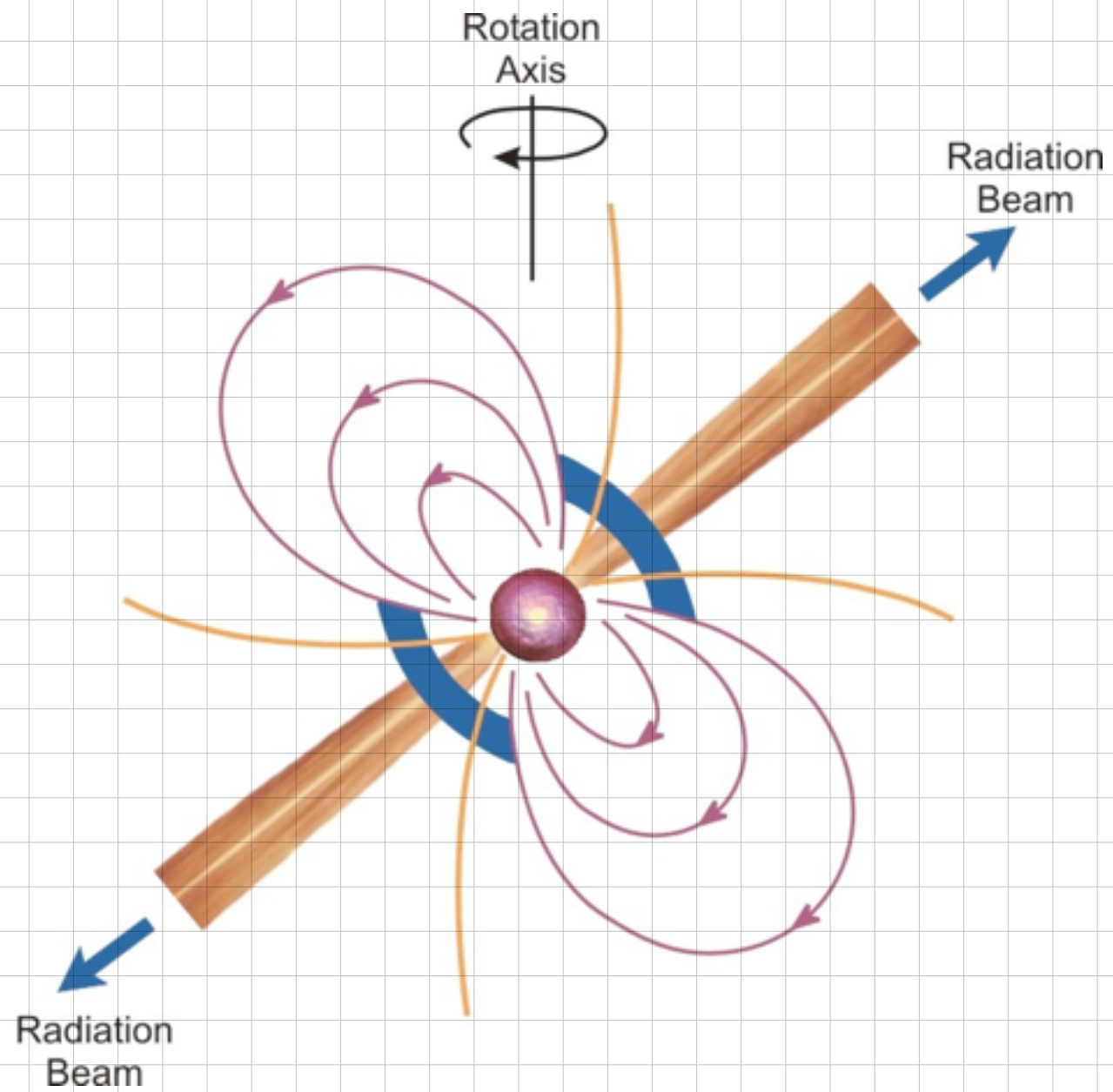
# Erhaltung des mag. Flusses



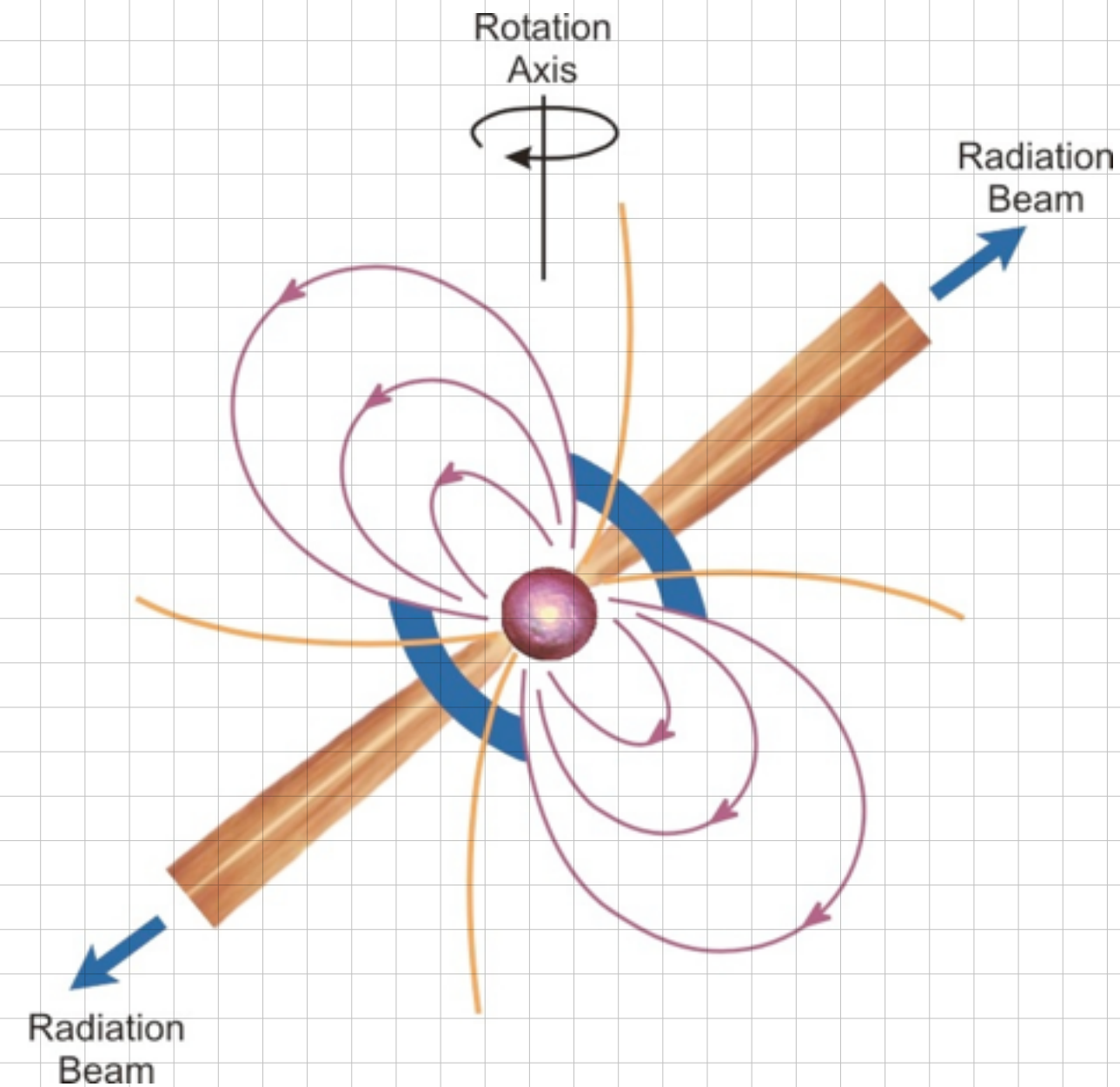
**Fig. 5.6**  
Increase of the magnetic field  
during the gravitational collapse of  
a star



# Abgestrahlte Energie



# Magnetosphäre von Neutronensternen



Induktionsgesetz

$$\text{rot } \vec{E} + \frac{\partial B}{\partial t} = 0$$

Ansatz: Elektromagn. Dipolstrahlung  
(Jackson, Elektrodynamik)

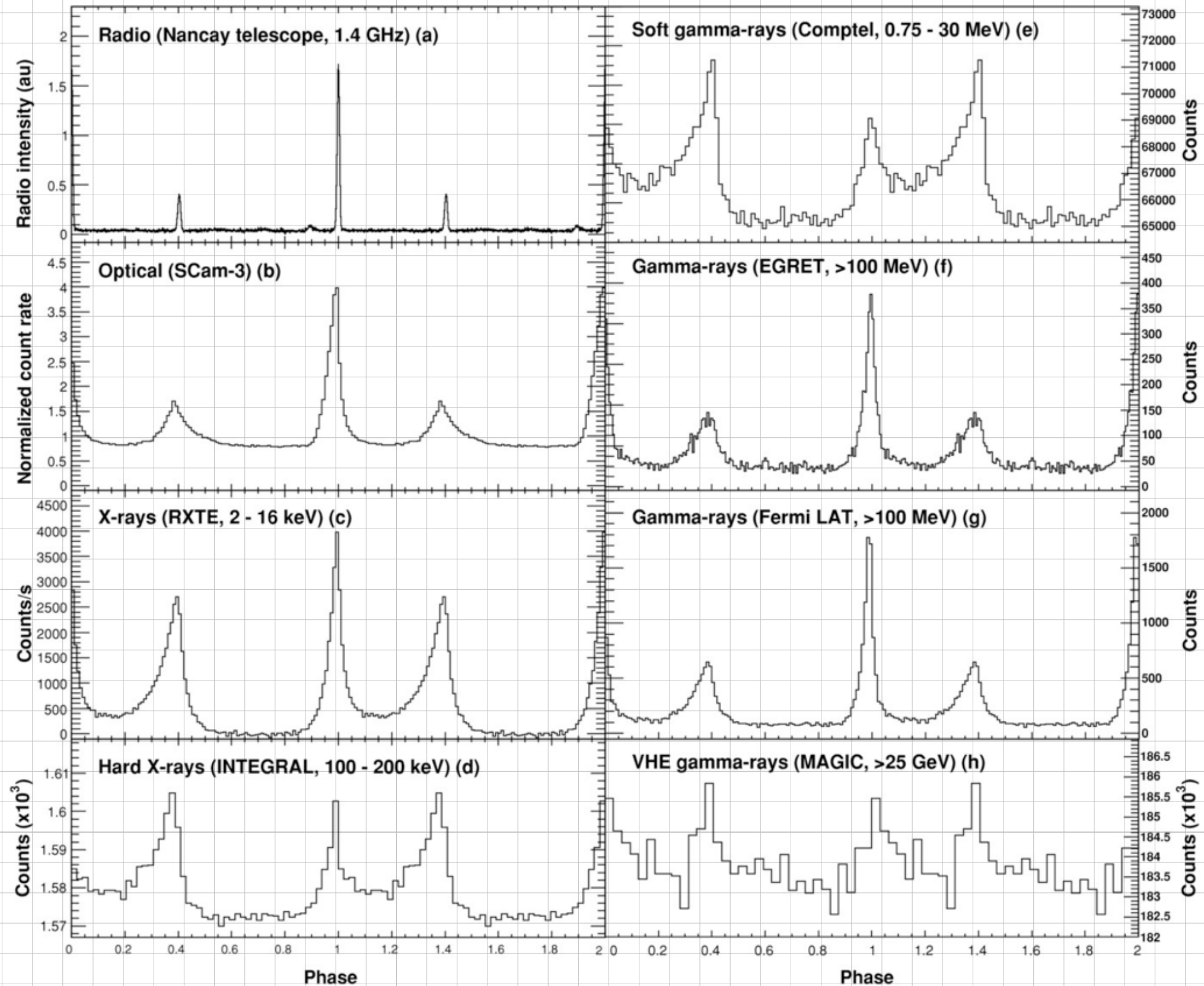
$$\frac{\partial E_{\text{em}}}{\partial t} = \frac{16\pi^4}{6} \frac{B^2 R^6}{c^3 P^4} \sin^2 \theta$$

$$\frac{\partial E_{\text{rot}}}{\partial t} = \frac{\partial E_{\text{em}}}{\partial t}$$

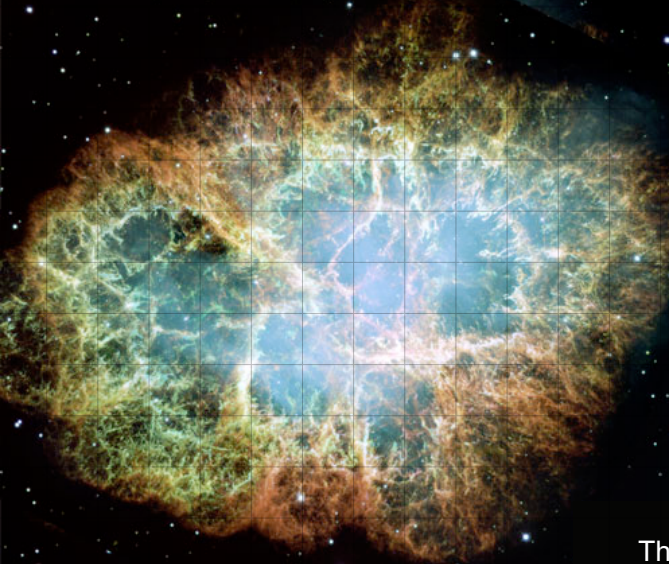
$$B = \frac{1}{2\pi} \frac{1}{R^3 \sin^2 \theta} \sqrt{6c^3 J P \dot{P}}$$

mit  $\theta = 90^\circ \Rightarrow B \approx 8 \times 10^{12} \text{G}$  für Krebs-Pulsar

# Krebsnebel: Zeitabhängigkeit des Signals







# Krebsnebel

The outer shock driven by ejecta into a low-density cavity is currently undetected

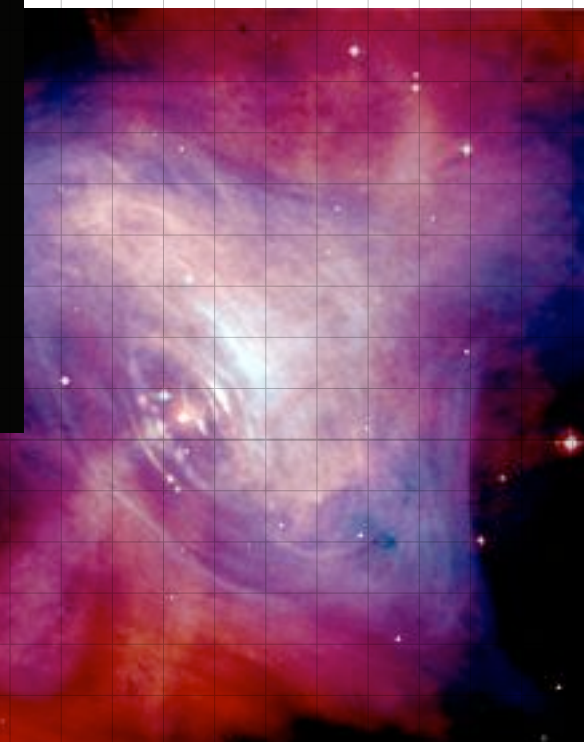
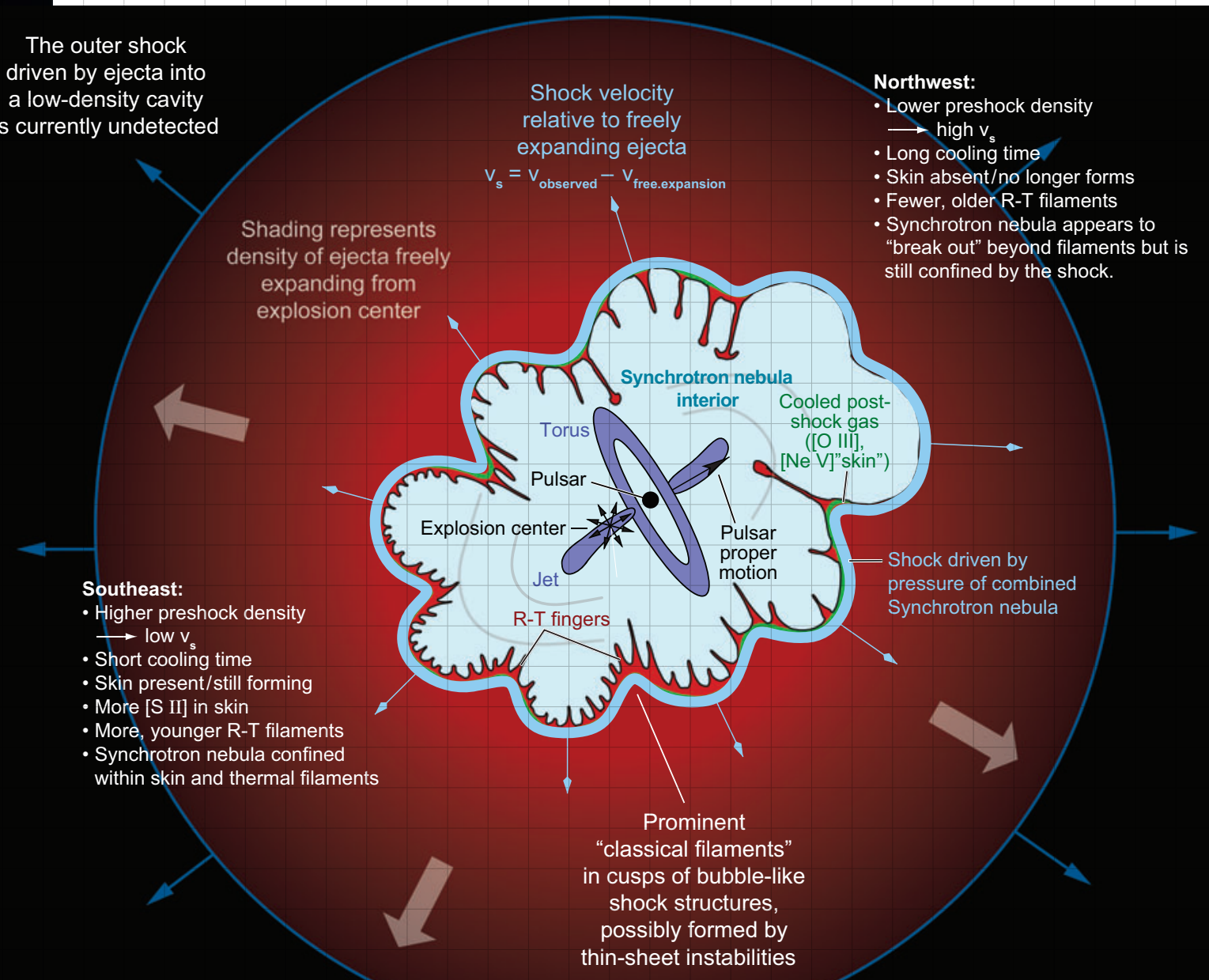


TABLE V. Physical parameters of the standard model.

Quantity (at surface)	Estimator	Crab	Typical
Magnetic field ( $B$ )	— <sup>a</sup>	$4 \times 10^{12}$ G <sup>c</sup>	$10^{12}$ G <sup>c</sup>
Rotation Rate ( $\Omega$ )	— <sup>a</sup>	200 rad/sec <sup>c</sup>	6 rad/sec
Radius ( $a$ )	— <sup>a</sup>	$10^6$ cm	$10^6$ cm
Mass ( $M$ )	— <sup>a</sup>	1.4 M	1.4 M
Moment of Inertia	— <sup>a</sup>	$10^{45}$ gcm <sup>2</sup>	$10^{45}$ gcm <sup>2</sup>
$E_{  }$ (vacuum)	$\Omega a B$	$8 \times 10^{12}$ V/cm	$6 \times 10^6$ V/cm
Polar cap area	$\pi \Omega a^3 / c$	$2 \times 10^{10}$ cm <sup>2</sup>	$6 \times 10^8$ cm <sup>2</sup>
Polar cap radius	$(\Omega a^3 / c)^{1/2}$	$8 \times 10^4$ cm	$1.4 \times 10^4$ cm
grav./elect. force	$mg / eE_{  }$ <sup>b</sup>	$1.5 \times 10^{-9}$	$2 \times 10^{-7}$
Pole to equator potential	$\Omega a^2 B / 2$	$4 \times 10^{18}$ V	$3 \times 10^{16}$ V
Potential across polar cap	$\Omega^2 a^3 B / 2c$	$3 \times 10^{16}$ V	$6 \times 10^{12}$ V
Electron Cyclotron frequency ( $\omega_c$ )	$eB / m_e$	$7 \times 10^{19}$ rad/sec	$1.8 \times 10^{19}$ rad/sec
Proton Cyclotron frequency	$eB / m_H$	$4 \times 10^{16}$ rad/sec	$1.0 \times 10^{16}$ rad/sec
Iron Cyclotron frequency	$eB / m_{Fe}$	$8 \times 10^{14}$ rad/sec	$2 \times 10^{14}$ rad/sec
electron concentration ( $n_e$ )	$2\epsilon_0 \Omega B / e$	$9 \times 10^{12}$ /cc	$7 \times 10^{10}$ /cc
Electron plasma frequency <sup>d</sup>	$(e^2 n_e / \epsilon_0 m_e)^{1/2}$	$1.7 \times 10^{11}$ rad/sec	$1.5 \times 10^{10}$ rad/sec
Alfvén velocity <sup>e,b</sup>	$(2\omega_{ci} / \Omega)^{1/2} c$	$4 \times 10^7 c$ (Fe)	$10^7 c$ (Fe)
Particle flux <sup>f</sup>	$4\pi\epsilon_0 \Omega^2 B a^3 / e$	$1.1 \times 10^{34}$ /sec	$2.5 \times 10^{30}$ /sec
Slowing down rate ( $\Omega / \dot{\Omega}$ )	$3I\mu_0 c^3 / 8\pi B^2 a^6 \Omega^2$	1340 yr	$2 \times 10^7$ yr
Particle flux <sup>f</sup>	$4\pi\epsilon_0 \Omega^2 B a^3 / e$	$1.1 \times 10^{34}$ /sec	$2.5 \times 10^{30}$ /sec
Slowing down rate ( $\Omega / \dot{\Omega}$ )	$3I\mu_0 c^3 / 8\pi B^2 a^6 \Omega^2$	1340 yr	$2 \times 10^7$ yr

<sup>a</sup>Input assumption or observation.

<sup>b</sup>For singly ionized iron ions (case where gravitation would be most important).

<sup>c</sup>Rounded values.

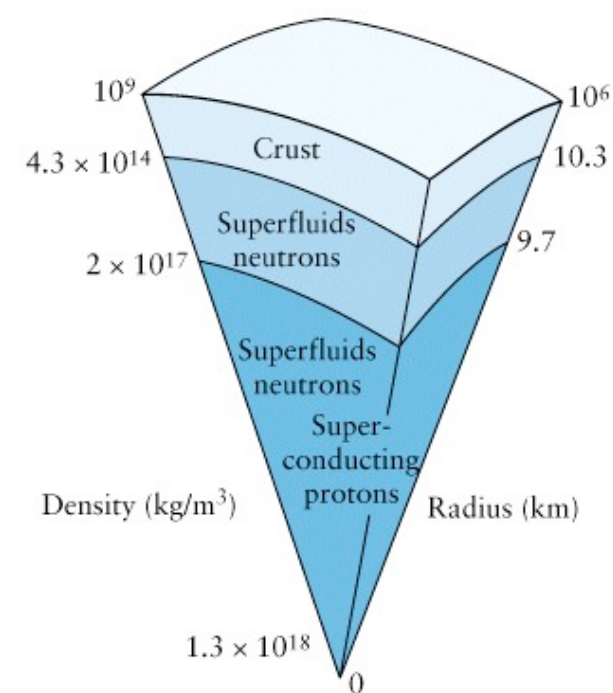
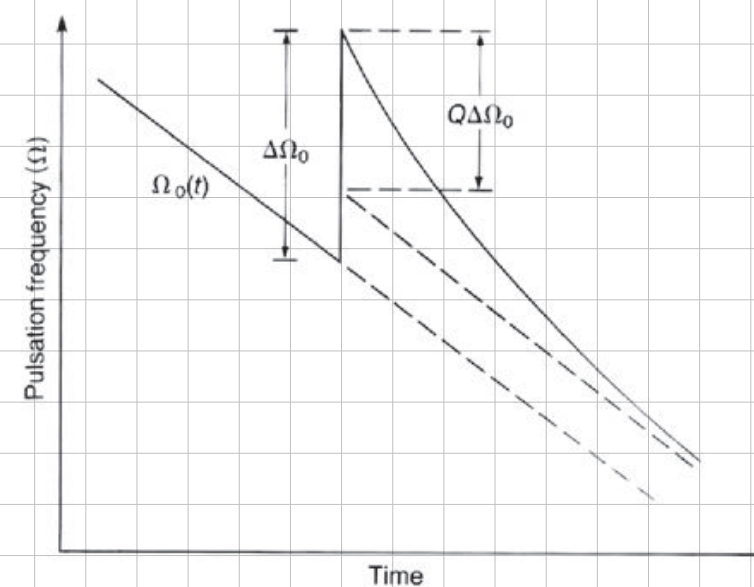
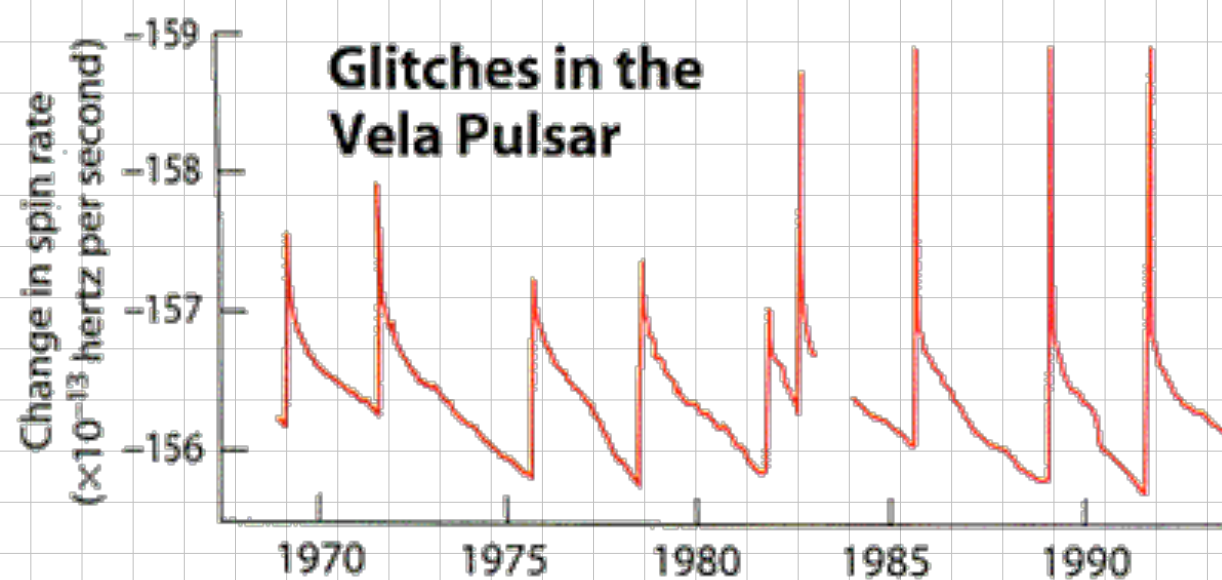
<sup>d</sup>An equivalent expression is  $\omega_p^2 = 2\Omega\omega_c$ , hence  $\omega_p \ll \omega_c$ .  $B$  (or  $n_e$ ) should be decreased by about  $(c/a\Omega)^3 = 3.4 \times 10^6$  to give the value at the light cylinder.

<sup>e</sup>Here one uses the ion cyclotron frequency.

<sup>f</sup>A simple equivalent is  $L/I^2 = 15W/A^2$ , where  $L$  is the total power output and  $I$  is the current (Michel, 1978a), hence  $e$  times the particle flux.



# Sprünge in der Umlaufzeit (Glitches)



# Magnetosphäre von Neutronensternen

